

## التحليل المكاني للغطاء الأرضي واستعمالات الأرضي في لواء الشوبك<sup>1</sup>/محافظة معان، خلال الفترة 1990-2021 باستخدام الاستشعار عن بعد ونظم المعلومات الجغرافية<sup>2</sup>

دلائل زريريات<sup>3</sup>

### ملخص

تهدف هذه الدراسة إلى تحديد الأنواع الرئيسية للغطاء الأرضي واستعمالات الأرضي في لواء الشوبك/ محافظة معان، وتحليل معدل التغير المكاني والزمني لتوزيع الغطاء الأرضي واستعمالات الأرضي، بالاعتماد على نظم المعلومات الجغرافية (GIS)، وتقنيات الاستشعار عن بعد (RS)، وقد تم اشتقاق الخصائص الطبوغرافية المختلفة من خلال نموذج الارتفاعات الرقمية (DEM)، المشتق من الخرائط الطبوغرافية للواء الشوبك، مقياس 1:25000، كما تم استخدام الصور الفضائية Landsat للأعوام 1990 و2005 و2021م. توصلت الدراسة إلى أن هناك أربعة أنواع رئيسية للغطاء الأرضي واستعمالات الأرضي في لواء الشوبك وهي: الأرضي المبنية، والأرضي الزراعية، والأرضي الجراء، والأرضي غير المستغلة. وقد توصلت الدراسة أيضاً إلى أن هناك تغييراً في الغطاء الأرضي واستعمالات الأرضي خلال الفترة 1990-2021؛ إذ بلغ معدل التغير في الأرضي المبنية 200%، والأرضي الزراعية -84.14%， والأرضي غير المستغلة 10.3%， والأرضي الجراء 0.21%， كما بينت الدراسة التحول لكل نوع من أنواع الغطاء الأرضي واستعمالات الأرضي.

**الكلمات الدالة:** الغطاء الأرضي واستعمالات الأرضي، تصنيف موجة، مصفوفة التحول، مؤشر الاختلاف النباتي المغایر، لواء الشوبك، معان/الأردن.

التوسيع العمراني على حساب الأرضي الزراعية، خاصة في الدول النامية (Hegazi, Kaloope, 2015)، كما يمكن اعتبارها نتاجاً للتفاعل بين العوامل الهيكلية (Structural) والسلوكية (behavioral) والقدرة التكنولوجية (Technological Capacity) وال العلاقات الاجتماعية التي تؤثر على قدرة النظام البيئي (Butt. 2015).

كما يعتبر تفسير وتحليل تغير الغطاء الأرضي واستعمالات الأرضي وتحوله وдинاميكيته، من أهم العوامل التي تؤخذ بعين الاعتبار عند وضع سياسات واستراتيجيات التخطيط على مستويات مختلفة، (Minale, 2013). إضافة إلى أهميتها في دراسة التغيرات البيئية العالمية، ودراسات التنمية، ودراسة التغيرات المناخية (Knuwar, 2010; Lambin *et al*, 2003; Zhao *et al*, 2013).

### المقدمة

يعتبر التغير في الغطاء الأرضي واستعمالات الأرضي كأحد العوامل الرئيسية للتغير البيئي أمراً أساسياً لمناقشة التنمية المستدامة والمحافظة على الموارد الطبيعية، وقد تم دراسة هذا التغير من عدة جهات لاستبطاط عوامل التغير في خضم

<sup>1</sup> سميت الشوبك بهذا الاسم نسبة إلى اسم كلمة شابك، وشابك من منازل قبيلة قضاعة، وقيل: إن الشابك من أسماء الأسد، والشبكة: الآبار المقاربة (خيسات، العيدى، 2016).

<sup>2</sup> أجري هذا البحث بدعم من الجامعة الأردنية خلال إجازة التفرغ العلمي الممنوعة للباحثة خلال العام الدراسي 2023/2024.

<sup>3</sup> قسم الجغرافيا، كلية الآداب، الجامعة الأردنية، عمان، الأردن.

تاريخ استلام البحث 15/11/2023 وتاريخ قبوله 22/2/2024.

الاستراتيجيات التقليدية لحل المشكلات والصراعات. وللمجتمعات الريفية التقليدية طريقتها الخاصة في التعامل مع المشكلات وتسوية النزاعات المتعلقة باستخدام الأرضي (Mira, 2022).

وتواجه الأردن نمطاً معدّاً بين التوسيع العمراني والأنشطة الزراعية لمواجهة الزيادة السكانية في ظل ظروف سياسية في الدول المجاورة واستقبال الأردن لموجات من الهجرة السكانية القسرية في ظل محدودية الأرضي الزراعية وقلة الموارد المائية (Al-Bakri *et al*, 2013; Al Rawashdeh, Saleh, 2006).

وتهدف هذه الدراسة إلى:

1. استعمال تقنيات الاستشعار عن بعد ونظم المعلومات الجغرافية في الكشف عن التغير في الغطاء الأرضي خلال الفترة 1990-2021.
2. معرفة خصائص لواء الشوبك الطبيعية والبشرية.
3. تحديد وتصنيف الأنواع الرئيسية للغطاء الأرضي واستعمالات الأرضي في لواء الشوبك خلال الفترة 1990-2021.
4. بناء قاعدة معلومات رقمية للغطاء الأرضي واستعمالات الأرضي في لواء الشوبك للأعوام 1990 و2005 و2021 م، وإنتاج خرائط رقمية خاصة بالغطاء الأرضي واستعمالات الأرضي في لواء الشوبك للأعوام 1990 و2005 و2021 م.
5. معرفة التغير الذي حدث في كل نوع من أنواع الغطاء الأرضي واستعمالاتها.
6. استنتاج الأسباب التي أدت إلى التغير في الغطاء الأرضي واستعمالات الأرضي في لواء الشوبك.

تبُرَز أهمية هذه الدراسة في توضيح كيفية استخدام نظم المعلومات الجغرافية وتقنيات الاستشعار عن بعد في دراسة الغطاء الأرضي واستعمالات الأرضي، وتحليل الغطاء الأرضي واستعمالات الأرضي والتغيرات من منظور تاريخي، وتسهيل عملية دراسة التغيرات الديناميكية المستمرة فيها (Reddy, 2009; Shivoga *et al*, 2007) رقمية (Digital map) للمراحل المختلفة من التطور والتغير

وقد أظهرت بعض الدراسات، أثر الأنشطة البشرية وأنماطها في استخدام الأرض؛ إذ كان لها تأثير عميق على البيئة الطبيعية مما أدى إلى إحداث خلل في عناصرها المختلفة.

(Oluwabunmi Denton, Ogunkunle, 2014)

ويرى البعض أنَّ التغير السريع في الغطاء الأرضي واستعمالات الأرضي يعود إلى: المتغيرات الاجتماعية والاقتصادية والسياسية والعوامل الطبيعية، والمتغيرات الديموغرافية؛ حيث يؤدي النمو السكاني إلى التوسيع العمراني، وزيادة مساحة الأرضي الزراعية، على حساب أراضي الغابات والمرعى الطبيعية. (Were *et al*, 2013; Shivoga *et al*, 2007 ;

Mather, Needle, 2000; Shalaby, Tateishi, 2007)

ويعدُّ النظام البيئي في المناطق الجافة من أكثر الأنظمة البيئية تأثراً بالتغييرات الطبيعية والبشرية، ومواجهة لتحديات كبيرة في مجال التنمية المستدامة؛ حيث تتعرض للتدحرُّج البيئي وتدهور التربة والتلوّن الحيوي تحت تأثير الضغط الاجتماعي والاقتصادي السياسي (Lambin *et al*, 2003; Glasby, 2002; Tekle, Hedlund, 2000)

ويعتبر استخدام تقنيات الاستشعار عن بعد، ونظم المعلومات الجغرافية من الوسائل الحديثة الفعالة لدراسة الموارد الطبيعية خاصة الغطاء الأرضي، وتعرُّف خصائصها، وأماكن تواجدها ثم مراقبتها ووضع الخطط لاستغلالها، من خلال إدخال، وتخزين، وتحليل البيانات، والمعلومات والخرائط، واستخلاص النتائج والمؤشرات التي تقييد في التبنُّع بالتغير المستقبلي للأنواع المختلفة للغطاء الأرضي واستعمالاته. (Hegazi, Kaloope, 2015)

إن فهم عملية التغير في الغطاء الأرضي واستعمالات الأرضي خاصة في المناطق ذات الطابع الريفي، يساعد في التخطيط لاستخدام الأرضي الموجه للظروف المحلية من حيث الأسلوب والمحظى. ويجب أن يكون إجراء معيارياً موحداً في تطبيقه على مستوى الدولة. ويعتمد محتوى الخطة لاستعمالات الأرضي على التحليل للوضع الإقليمي أو المحلي ويراعي تخطيط استخدام الأرضي وجهات النظر الثقافية وينبئ على المعرفة البيئية المحلية. إذا كان هذا هو الحال فيجب أن تكون هذه المعرفة المحلية جزءاً من الأساس لتخطيط وتنفيذ استخدام مستدام للأرض، كما يراعي

الأرضي واستعمالات الأرضي خلال الفترة 1990-2021؟

5. ما أسباب التغير في الغطاء الأرضي واستعمالات الأرضي خلال فترة الدراسة.

#### منهجية الدراسة:

تستند هذه الدراسة إلى المنهج التحليلي Analytical Approach، والمنهج الوصفي، والمنهج الكرونولوجي Chronology Approach) من خلال دراسة التطور الذي حدث في أنواع الغطاء الأرضي واستعمالات الأرضي في لواء الشوبك للأعوام 1990، 2021 وذلك من خلال اتباع الإجراءات الآتية:

#### جمع البيانات من المصادر الآتية: أولاً: العمل المكتبي:

- الخرائط الطبوغرافية للواء الشوبك مقاييس 1:25000، إنتاج المركز الجغرافي الملكي الأردني (المركز الجغرافي الملكي الأردني، 1978).
- بيانات مناخية خلال فترات مختلفة لمجموعه من المحطات المطرية والمناخية (Rain Full Stations) الممثلة لمنطقة بالاعتماد على دائرة الأرصاد الجوية.
- الخريطة الجيولوجية الورقية مقاييس 1:250000 المأخوذة من سلطة المصادر الطبيعية.
- خريطة القرية وزارعة الزراعة.
- المرئيات الفضائية للواء الشوبك من القمر الصناعي Landsat وتشمل لوحة رقم 39 R 174 P 174 (www.usgs.gov) (الجدول 1).

- أولاً: المرئيات الفضائية التابعة للقمر الصناعي لاند سات الملقطة بتاريخ 26-5-1990م.
- ثانياً: المرئيات الفضائية التابعة للقمر الصناعي لاند سات الملقطة بتاريخ 25-4-2005م.
- ثالثاً : المرئيات الفضائية التابعة للقمر الصناعي لاند سات (8) الملقطة بتاريخ 23-5-2021م.

الذي يحدث؛ إذ تستخدم هذه الخرائط بشكل كبير في التخطيط الإقليمي، وإدارة الموارد الطبيعية، والتنمية، (Celikyan, 2008; Ries, 2007). كما ترتبط أهمية هذه الدراسة بما يلي: 1. أهمية لواء الشوبك؛ إذ يشكل حوالي 1.3% من مساحة محافظة معان، وتتنوع الموارد الطبيعية والبشرية من حيث موقعه الجغرافي وطبوغرافيته وجيولوجيته، وخصائصه المناخية وموارده المائية المتاحة وخاصة مياه الينابيع، إضافة إلى الخصائص الديموغرافية للسكان والنشاطات الاقتصادية، والأهمية السياحية للواء الشوبك، إذ يحتوي على العديد من الواقع السياحية البيئية التي يرتادها السياح الممثلة بمنطقة البستان، والمهيشة، وأودية غرب الشوبك، وقلعة الشوبك الأثرية، إضافة إلى قربها من إقليم البتراء السياحي.

2. أهمية دراسة الغطاء الأرضي واستعمالاته المتعددة، نظراً للتغيرات التي طرأت عليه في العقود الخمس الماضية، كما تتجلى أهمية هذه الدراسة في كونه يتناول دراسة التغير والتتطور المكاني والزمني الذي حدث على الغطاء الأرضي واستعمالات الأرضي في لواء الشوبك وتحليلها تحليلًا جغرافيًّا من خلال مقارنة الصور الفضائية للأعوام 1990 و2005 و2021 م.

3. التنبية من خطورة النتائج الناجمة عن التغير في الأرضي المبنية خاصة والتغير الذي يحدث في كافة أنواع الغطاء الأرضي الذي يمكن أن يحدث مستقبلاً.

وترتبط مشكلة هذه الدراسة باختلاف التوزيع المكاني والزمني لأنواع الغطاء الأرضي واستعمالات الأرضي، والمتغيرات المؤثرة على توزيعها، والأساليب المتبعة في دراسة هذه المتغيرات، وقد جاءت هذه الدراسة للإجابة عن الأسئلة الآتية:

1. ماهي المميزات الطبيعية والبشرية للواء الشوبك؟
2. ما الأنواع الرئيسية للغطاء الأرضي، واستعمالات الأرضي في لواء الشوبك خلال الفترة 1980-1990-2021 م.
3. ما معدل التغير في أنواع الغطاء الأرضي، واستعمالات الأرضي في لواء الشوبك خلال الفترة 1990-2021؟
4. ما هي التحولات المكانية لكل نوع من أنواع الغطاء

**الجدول(1) أنواع القمر Landsat للمرئيات المستخدمة**

<b>Resolution (meters) القدرة التمييزية</b>	<b>Wavelength (micrometers) طول الموجة</b>	<b>النطاقات Bands</b>	<b>القمر الصناعي</b>
30	0.43 - 0.45	Band 1 - Coastal aerosol	<b>Landsat 8 Operational Land Imager (OLI) and Thermal Infrared Sensor (TIRS)</b>
30	0.45 - 0.51	Band 2 – Blue	
30	0.53 - 0.59	Band 3 – Green	
30	0.64 - 0.67	Band 4 - Red	
30	0.85 - 0.88	Band 5 - Near Infrared (NIR)	
30	1.57 - 1.65	Band 6 - SWIR 1	
30	2.11 - 2.29	Band 7 - SWIR 2	
15	0.50 - 0.68	Band 8 – Panchromatic	
30	1.36 - 1.38	Band 9 – Cirrus	
100	10.60 - 11.19	Band 10 - Thermal Infrared (TIRS) 1	
100	11.50 - 12.51	Band 11 - Thermal Infrared (TIRS) 2	

الفضائية.

- استخدام نظام التوقيع العالمي (GPS)، لرصد إحداثيات نقاط التحكم الأرضي.
- المقابلات الشخصية.

### ثالثاً: العمل المخبري:

استخدام برنامج Arc GIS Version 10.2 وبرنامج ENVI 4 في تحويل البيانات الأرضية في لواء الشوبك إلى معلومات إلكترونية وخريطة رقمية وفق الإجراءات الآتية:

1: الاستشعار عن بعد.

- قص منطقة الدراسة من المرئية الفضائية 8 Landsat للاعوام 1990، 2005، 2021 بتركيب لوني حقيقي، (الشكل 1).

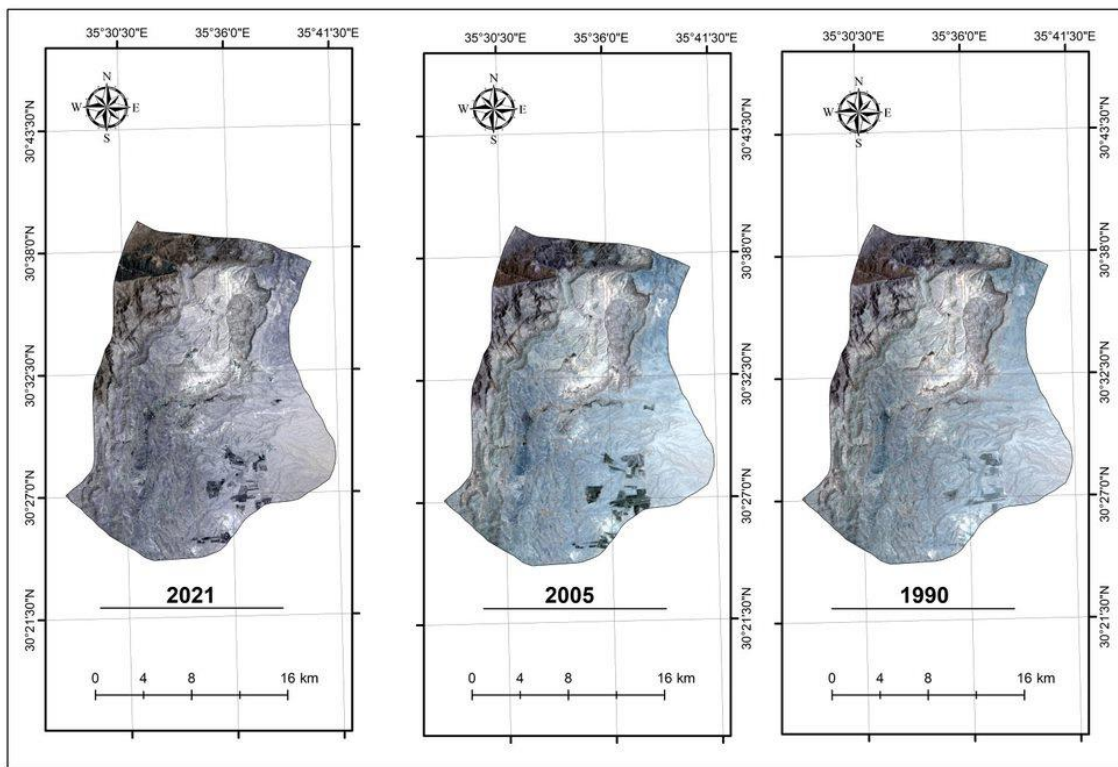
- نموذج الارتفاع الرقمي: بقدرة تمييزية 30 متراً خرائط الأساس الطبوغرافية الخطية 1:50000 ضمن نظام المرجع الجغرافي العالمي (World Geographic Reference System Geo Ref).

- خريطة توزيع الأمطار في الأردن، إنتاج وزارة المياه والري، لعام 2000م.

- تقارير دائرة الإحصاءات العامة لتحديد تطور عدد السكان في التجمعات السكانية في لواء الشوبك.

### ثانياً: العمل الميداني:

- المسح الميداني لتعرف طبيعة الغطاء الأرضي واستعمالات الأرضي والتحقق من دقة تفسير المرئيات



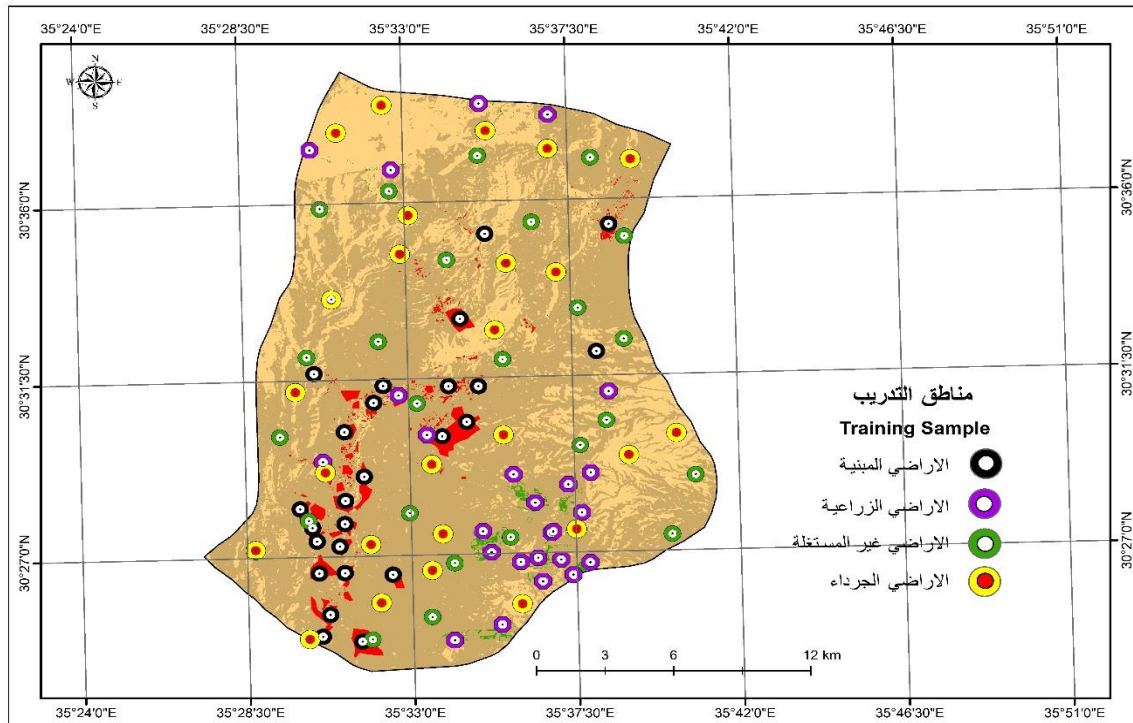
الشكل (1): مرئيات فضائية Landsat للواء الشوبك للأعوام 1990، 2005، 2021 بتركيب لوني حقيقي

المصدر : [www.usgs.gov](http://www.usgs.gov)

الطيفية R G B، ومن ثم تفسير المرئية من خلال التصنيف الموجه Supervised Classification، باتباع طريقة التصنيف باحتمالية غاوس العظمي Maximum Likelihood Classifier، بعد تحديد مناطق التدريب Training Area، التي تم تحديدها على الخريطة الطبوغرافية، والمرئيات الفضائية (Phipps, 2014+).

- تم تحديد 160 منطقة تدريب. وتم إجراء دقة التصنيف: الدقة الكلية Overall Classification Accuracy، ودقة المستخدم Producer (User Accuracy)، ودقة المنتج (Accuracy) لجميع أصناف الغطاء الأرضي واستعمالات الأرضي للأعوام 1990، 2005، 2021، (الشكل 2).

- إجراء التصحيح الجيومترى باستخدام برنامج ENVI 4، Geometric correction للصور الجوية، والمرئية الفضائية المستخدمة بالدراسة، بتجميع 160 نقطة تحكم أرضي (GCP)، ثابتة ومميزة وموزعة مكانياً بشكل مناسب على المرئيات المستخدمة، وكذلك استخدام نظام التوقيع العالمي لتسجيل إحداثيات نقاط التحكم الأرضي، في الميدان وفق نظام ميركاتور المستعرض ضمن خطأ متوسط الجذر التربيعي أقل من نصف بكسل.
- تحسين المرئية الفضائية باستخدام التركيب اللوني the color composition لمعظم النطاقات باستخدام الأحزمة



الشكل (2): مناطق التدريب في لواء الشوبك

(Gandhi *et al.*, 2010, 2005, 1990  
2021). والصيغة الرياضية لحساب NDVI هي:  
 $\text{NDVI} = \frac{\text{الأشعة تحت الحمراء القريبة}}{\text{الأشعة تحت الحمراء القريبة} + \text{الأشعة الحمراء}}$

- نظم المعلومات الجغرافية:
- استخدام نتائج بيانات الاستشعار عن بعد للغطاء الأرضي واستعمالات الأرضي بعد معالجتها وتحويلها لمدخلات في نظام المعلومات الجغرافية لرسم خريطة بوساطة الترقيم للغطاء الأرضي واستعمالات الأرضي مشقة من المرئية الفضائية في لواء الشوبك، التي تضمنت الأرضي المبنية، والأرضي الزراعية، والأرضي غير المستغلة، والأرضي الجراء، باستخدام برنامج Arc GIS Version 10.2، للأعوام: 1990، 2005، 2021.
- إجراء تحليل المطابقة (Overlay analysis)

- استخراج معامل كابا (Kappa Coefficient) وفق المعادلة التالية (Congalton, 1991)

$$k = \frac{N \sum_{i=1}^r x_{ii} - \sum_{i=1}^r (x_{i+} \times x_{+i})}{N^2 - \sum_{i=1}^r (x_{i+} \times x_{+i})}$$

حيث إن:

N: مجموع النقاط القطري في مصفوفة الخطأ

R: عدد الصفوف في مصفوفة الخطأ

Xii: مجموع النقاط القطري في مصفوفة الخطأ

x+i: مجموع النقاط لكل صف في مصفوفة الخطأ

i+x: مجموع النقاط لكل عمود في مصفوفة الخطأ

- استخدام مؤشر الاختلاف النباتي المعاين (Normalized Difference Vegetation Index NDVI) لمعرفة درجة انتشار الغطاء النباتي للأعوام

إحداث التغير في الغطاء الأرضي، وتحديد نسبة التغير في الغطاء الأرضي خلال فترة زمنية معينة، وتقييم تلك التغيرات إيجابية كانت أو سلبية، ومن ثم وضع السياسات البيئية التنموية لمحافظة على أنواع معينة من الغطاء الأرضي والتي تسهم بدورها في المحافظة على الموارد الطبيعية.

توصلت دراسة كريموف وأخرين إلى أن عملية تغير استخدام الأرضي والغطاء الأرضي (LULCC) عملية ديناميكية تساعده في تشكيل المناظر الطبيعية والنظم البيئية والمجتمعات البشرية. في أوزبكستان، مدفوعاً بتفاعل معقد بين العوامل الاجتماعية والاقتصادية والسياسية والبيئية. وقدمت الدراسة تحليلاً شاملاً للمسارات التاريخية والدافع والآثار المتربطة على LULCC في أوزبكستان. من خلال تجميع مصادر البيانات المتعددة بما في ذلك صور الاستشعار عن بعد، والتقارير الحكومية، والأدبيات التي تم مراجعتها، لفترات زمنية مختلفة، وقد أدى التوسيع الزراعي والتنمية الصناعية إلى إعادة تشكيل الغطاء الأرضي، مما أثر على التنوع البيولوجي وخدمات النظم الإيكولوجية؛ لأسباب أهمها: التحولات الديموغرافية، وتعديلات السياسات، والأولويات الاقتصادية. كما توصلت الدراسة إلى معرفة العواقب الاجتماعية والاقتصادية لتغير الغطاء الأرضي واستعمالات الأرضي، ومعرفة الفرص والتحديات التي يفرضها التحضر والتكتيف الزراعي. وأكدت الدراسة أهمية الإدارة المستدامة للأراضي وصياغة السياسات القائمة على الأدلة للتخفيف من الآثار السلبية وتحقيق أقصى قدر من الفوائد. تؤكد هذه المراجعة الحاجة إلى مواصلة البحث، والاستراتيجيات التكيفية، والجهود التعاونية لمعالجة الديناميكيات المعقدة والمتطرفة لـ LULCC في أوزبكستان (Karimov et al., 2023).

هدفت دراسة مايريج وأخرين إلى دراسة ديناميكيات الغطاء الأرضي ومحركاتها في مستجمع فافان في إثيوبيا خلال الفترة 1990-2050، باستخدام مزيج من صور الأقمار الصناعية والمسح الاجتماعي والاقتصادي؛ للتحقيق في ديناميكيات تغير الغطاء الأرضي، باستخدام صور الأقمار الصناعية. وكشفت نتائج الدراسة أن مستجمع المياه يشمل ست فئات من الغطاء الأرضي، بما في ذلك الأرضي الزراعية، والمستوطنات،

بوضع الطبقة الخاصة بأنواع الغطاء الأرضي واستعمالات الأرضي لعام 2015 فوق طبقة الغطاء الأرضي واستعمالات الأرضي لعام 1978، لمعرفة التغيير الذي حدث. باستخدام تقنية نظم المعلومات الجغرافية باستخدام التحليل الجغرافي (Geographic analysis)، واستخراج مصفوفة التحول من نوع إلى آخر بالنسبة إلى الغطاء الأرضي واستعمالات الأرضي، (Change matrix).

- استخدام المعادلة التالية:

1- حساب معدل التغير (%) في كل نوع من أنواع الغطاء الأرضي واستعمالات الأرضي باستخدام المعادلة الآتية، (Tovar et al, 2013)

$$X = \frac{A2 - A1}{A1} \times 100$$

حيث تمثل:

X : معدل التغير.

A2 : مساحة الغطاء الأرضي في الفترة الزمنية اللاحقة.

A1 : مساحة الغطاء الأرضي في الفترة السابقة.

- استخدام نظام أندرسون لتصنيف الغطاء الأرضي واستعمالات الأرضي المستوى الأول، وتم إجراء بعض التعديلات بما يتفق مع طبيعة منطقة الدراسة.

- استخدام برنامج إكسل لإنتاج الأشكال والرسومات البيانية باستخدام البيانات التي تم الحصول عليها من تقارير دائرة الإحصاءات العامة.

- مرحلة التحليل والوصول إلى النتائج والتوصيات.

### الدراسات السابقة

تناول العديد من الدراسات التغير في الغطاء الأرضي واستعمالات الأرضي في مناطق مختلفة من العالم، من خلال تطبيقات وسائل الاستشعار عن بعد ونظم المعلومات الجغرافية، وقد هدفت بعض هذه الدراسات إلى الكشف عن التغير في الغطاء الأرضي في ظل ظروف معينة من مثل اتباع سياسات معينة من قبل الدولة، كما هدفت بعض الدراسات إلى تحليل أثر العوامل الطبيعية والبشرية على

هدفت دراسة كيلي وآخرين إلى تحليل التغير في استخدامات الأرضي والغطاء الأرضي من خلال عدسة أهداف التنمية المستدامة في سيمارانج، إندونيسيا بين عامي 2006 و 2015 وذلك لتحديد السياسات المحتملة للتغير في الغطاء الأرضي واستعمالات الأرضي الناجمة عن الزيادة في عدد السكان ومزارع المطاط. باستخدام الاستشعار عن بعد ونظم المعلومات الجغرافية، وتحليل التطبيق، وتحليل النقاط الساخنة الأمثل. وقد خلصت الدراسة إلى أن هناك انتشاراً للمناطق الحضرية نحو الأجزاء الجنوبية والغربية من سيمارانج التي كانت تحتلها الغابات والمزارع، وتربية الأحياء المائية. لقد شهدنا أيضاً تحولاً في الزراعة إلى مزارع المطاط؛ محصول نقيدي. وتبين دلالات هذه الدراسة أن هذا التحليل المكاني يمكن من استخدام البيانات لوصف أهداف التنمية المستدامة، والتفاعل المعقّد لهذه الأهداف، وربما تخفيف بعض التعارضات بين أهداف التنمية المستدامة المتباينة. وقد أوصت الدراسة ببني بعض السياسات التي يمكن أن تساعده في الحفاظ على النظام البيئي الأرضي في سيمارانج مع إنشاء مدينة مستدامة وتوفير العمل الكافي للأفراد في اقتصاد متان مع الحفاظ في نفس الوقت على إمدادات غذائية كافية (Kelly *et al*, 2022).

تهدف دراسة داي وآخرين إلى تحديد أنماط التغير في مدينة راجشاهاي في بنغلاديش للأعوام 2000 و2010 و2020 ومحاكاة التغييرات المستقبلية لعام 2040. تم استخدام صور القمر الصناعي لاندستات ونظم المعلومات الجغرافية. أظهر التحقق من صحة خريطة LU / LC المتوقعة دقة إجمالية تزيد على 90%. ووجدت الدراسة أن متوسط المستوطنات الحضرية يبلغ 3.6 كيلو متر مربع يزداد كل 10 سنوات عن طريق استبدال الموارد الطبيعية. يُظهر التنبؤ المستقبلي أن أكثر من 60% من إجمالي مساحة المدينة سيتحول إلى مستوطنات حضرية بحلول عام 2040. وستؤدي الزيادة الهائلة في المستوطنات الحضرية وانخفاض الغطاء الأخضر والمسطحات المائية إلى الإضرار بالاستدامة البيئية لمدينة راجشاهاي عن طريق زيادة درجات الحرارة وموسمات الحر. ستساعد هذه الدراسة المخططين الحضريين وواضعين

والأراضي الفاحلة، والغابات، والأراضي العشبية، والشجيرات. وفي الأعوام من 1990 إلى 2021، انخفضت الغابات والأراضي العشبية والشجيرات بنسبة 13.2% و 4.6% و 18% على التوالي، في حين ارتفعت الأرضي الزراعية والمستوطنات والأراضي الفاحلة بنسبة 19.2% و 11.7% و 4.9% على التوالي. خلال هذه الفترة، بلغ صافي مكاسب الأرضي الزراعية والمستوطنات والأراضي الفاحلة 30705 هكتاراً؛ 18.541 هكتاراً، و 7776 هكتاراً، على التوالي، في حين بلغ صافي الخسارة في أراضي الشجيرات والمراعي والغابات 28675 هكتاراً؛ 7294 هكتاراً، و 21.052 هكتاراً على التوالي. وبالمثل، في الأعوام من 2022 إلى 2050، من المتوقع أن تزيد الأرضي الزراعية والمستوطنات والأراضي الفاحلة بنسبة 3.5% و 3.65% و 2.2% على التوالي، في حين من المتوقع أن تتحسن أراضي الشجيرات والغابات والأراضي العشبية بنسبة 1.3% و 1.01% على التوالي.علاوة على ذلك، أشارت نتائج الدراسة إلى أن عدة عوامل ساهمت في التغيرات في الغطاء الأرضي، بما في ذلك الرعي الجائر، والنمو السكاني، وإعادة التوطين، وجمع الأخشاب، وتوسيع الأرضي الزراعية. ولتحقيق هذه الغاية، ومن خلال الجمع بين المساحات الاجتماعية والاقتصادية وبيانات الاستشعار عن بعد، طورت هذه الدراسة خريطة دقيقة إلى حد معقول لتغيرات الغطاء الأرضي. ومع ذلك، فإن استخدام صور الأقمار الصناعية عالية الدقة، إلى جانب المعرفة المحلية، يمكن أن يؤدي إلى نتائج أفضل من تلك التي تم الحصول عليها من صور لاندستات (Maereg. *et al*, 2023).

توصلت دراسة دو وآخرين عن التوسيع المكاني في أنماط استخدام الأرضي والتغيرات في الغطاء الأرضي حول أكرا، غانا - من منطقة بلدية أووتو سينيا الشرقية إلى حدوث تمدد كبير وسريع في المناطق الحضرية خلال الفترة 2014-2020 بلغ حوالي 152% وذلك نتيجة لعوامل اجتماعية وسياسية واقتصادية، وقد أوصت الدراسة بضرورة وضع استراتيجية لإدارة الوسعة الحضري على حساب الاستعمالات الأخرى خاصة الزراعية (Doe *et al*, 2022).

نسبة من 20% إلى 49% نتيجة للزيادة في عدد السكان والتحضر، وتراجعت مساحة الأرضي الزراعية من 43% إلى 26%. وقد أشارت الدراسة إلى أن هذه التغيرات تشكل تهديداً للبيئة كما تؤثر على الموارد المائية في خليج (Murchison) مما يزيد من تكاليف معالجة المياه ومياه الصرف الصحي فهناك حاجة ماسة إلى اتخاذ التدابير اللازمة والحاصلة لتنظيم ومراقبة استخدامات الأرضي والحفاظ عليها (Kiggundu *et al*, 2018).

وحل فابينغ وآخرون تغير الغطاء الأرضي في حوض نهر يارلنغ تسانغوا (الصين) خلال الفترة 1985-2005، وتوصلت الدراسة إلى حدوث زيادة في مساحة الغابات، والمناطق المبنية، وتراجع المرعى والأراضي الرطبة (Fapeng Li *et al*, 2013).

وهدفت دراسة زريقات والحسبان إلى كشف التغير في الغطاء الأرضي باستخدام الصور الجوية ونظم المعلومات الجغرافية في قضاء بrama - جرش شمالي الأردن، خلال الفترة 1978-2009، وذلك باستخدام الصور الجوية أبيض وأسود لعام 1978، وصور ملونة لعام 2009. وتم استخدام نظم المعلومات الجغرافية برنامج (ArcGIS)، وذلك بهدف إنتاج خرائط رقمية للغطاء الأرضي لمنطقة الدراسة خلال فترة الدراسة، كما تم استخدام نظام أندرسون لتصنيف الغطاء الأرضي، وقد توصلت الدراسات إلى تحديد أنواع رئيسة للغطاء الأرضي وهي (الأراضي المبنية، الأرضي الزراعية، الغابات) وحدث تغير في مساحات الأرضي المبنية (Built up Area) إذ وصلت نسبة التغير إلى 500%， ووصلت نسبة التغير في مساحة الأرضي الزراعية (Agriculture Land) إلى 10.3%， وتغير مساحة أراضي الغابات (Forest Land) وتراجعاها بنسبة 31.26%， (زريقات وحسبان، 2012).

وحل الشلبي وآخرون التغير في الغطاء الأرضي واستعمالات الأرضي في الساحل الشمالي الغربي من مصر باستخدام الاستشعار عن بعد ونظم المعلومات الجغرافية خلال الفترة 1987-2001، وقد بينت النتائج ظهور تغير كبير في الغطاء الأرضي نتيجة للتسع في الزراعة والمشاريع

السياسات على اتخاذ قرارات التنمية المستدامة المناسبة من خلال فهم نمط التغير (Dey *et al*, 2021).

وقد حل نايكو وآخرون استخدام الأرضي شبه الحضرية وتغير الغطاء الأرضي ودوافعه باستخدام تقنيات المعلومات الجغرافية في دلهي (Delhi NCR) والتي تعتبر منطقة جاذبة للسكان نتيجة لعوامل اقتصادية واجتماعية، وقد أظهرت النتائج أن هناك توسيعاً للأراضي المبنية على حساب الأنواع الأخرى للغطاء الأرضي، حيث توسيع الأرضي المبنية من 1.67% - 7.12% خلال الفترة 1990-2018، وأوصت الدراسة بضرورة وضع خطط واستراتيجيات حضرية للحد من ذلك. (Naikoo *et al*, 2020).

وفي دراسة أجراها عبد الجود والبلبيسي عن تحليل وكشف التغيرات في أنماط الغطاء الأرضي ومقارنتها مع خريطة استعمالات الأرض في لواء الموقر باستخدام المرئيات الفضائية ونظم المعلومات الجغرافية توصلت الدراسة إلى حدوث تغير في استعمالات الأرض وأنماطها، إذ تمدد الغطاء الحضري وتوسيع على حساب الغطاء الزراعي جغرافياً ومساحياً، وتراجعت مساحة الأرضي الزراعية في لواء الموقر من (24.193كم<sup>2</sup>)، إلى (60.451كم<sup>2</sup>)، وزادت مساحة الأرضي الحضري بشكل واضح ولافت للنظر من (24.876كم<sup>2</sup>)، إلى (44.672كم<sup>2</sup>) خلال فترتي الدراسة. وأظهرت نتائج الدراسة أن العوامل البشرية المتمثلة في الإنسان ونشاطاته الحضرية المختلفة، هي العامل الرئيس والمُسؤول عن حدوث التغيرات في أنماط الغطاء الأرضي واستعمالاته. وتم بناء قاعدة بيانات جغرافية لكل من أنماط الغطاء الأرضي، والتغيرات في استعمالاته، ومؤشرات التدهور البيئي للأراضي الزراعية، وهي قابلة للتعديل والتحديث والدمج (عبد الجود، والبلبيسي، 2019).

وكشفت دراسة كيغوندو وآخرين التغيرات في استعمالات الأرضي في خليج مورشيسون في الساحل الشمالي لحوض بحيرة فيكتوريا الواقعة في أوغندا وذلك خلال الفترة 1984 إلى 2015، بالاعتماد على نظم المعلومات الجغرافية والمرئيات الفضائية و(MSS,TM) وتوصلت الدراسة إلى أن هناك زيادة في مساحة الأرضي المبنية؛ إذ ارتفعت

باستخدام تقنيات الاستشعار عن بعد ونظم المعلومات الجغرافية. نظراً لأهمية منطقة الدراسة، وتتنوع موارداتها الطبيعية والبشرية، إضافة إلى أنه لم يتم دراسة التحليل المكاني للغطاء الأرضي واستعمالات الأرض في منطقة الدراسة، وشح الدراسات التي تغطي هذا اللواء في أي مجال.

#### منطقة الدراسة

يقع لواء الشوبك ضمن محافظة معان، جنوب الأردن، ما بين دائري ٢٠° ٣٠° و حتى ٣٩° ٣٠ شماليًّاً، وخطي طول ٤٥° ٣٥°، و حتى ٢٠° ٣٥° شرقاً، تبلغ مساحة لواء الشوبك حوالي 428 كم<sup>2</sup>، وتبعد 210 كم عن مدينة عمان، ويشكل حوالي 1.3% من مساحة محافظة معان تقريباً التي تبلغ مساحتها 32,832 كم<sup>2</sup>. (الشكل 3).

تم استخدام لواء الشوبك بتاريخ 1/1/1996 ويضم مجلساً بلديًّا واحداً. ويشمل المدن والقرى التالية الشكل (4): (الشوبك، الزبيرية، المثلث، المنصورة، المقارعية، البقعة، الجهير، بئر الدباغات، بير خداد، حواله، الحداده، الفيصلية، الزيتونة، النهضة، أبو مخطوط، الجاية، الجنينا، شماخ، صيحان، بير الطافي، بدا، الأرزة، الرزميلات، مقدس وأم صوان، بدباء، بئر بن جازى، الهيشة). ويحدها من الشرق لواء الحسينية، ومن الغرب قضاء وادي عربة، ومن الشمال لواء بصيرا (محافظة الطفيلة)، ومن الجنوب قصبة معان ولواء البتراء. وتعتبر الشوبك من المواقع ذات الهمashية المتوسطة حيث تمتلك إمكانات أكبر للنمو مستقبلاً نظراً لقربها النسبي من حدود ونطاقات التركز السكاني (قطيشات، 2014).

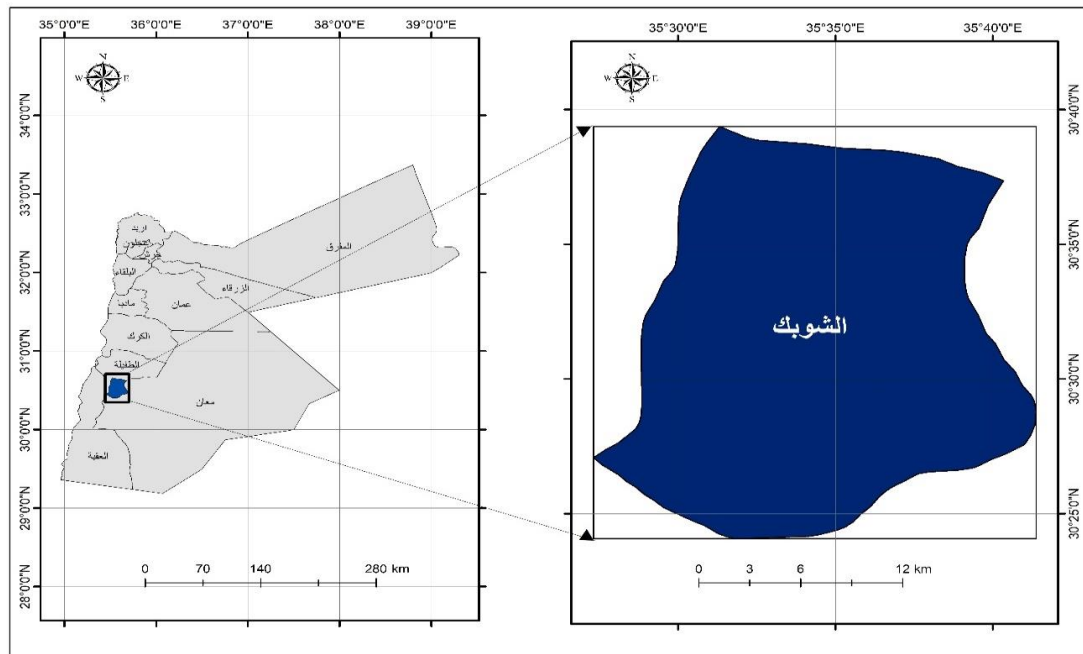
السياحية، وقد أدت هذه التغيرات إلى تدهور الموارد الطبيعية خاصة الغطاء النباتي الطبيعي وبيئة المناطق الساحلية المحاذية للبحر (Shalaby *et al*, 2007).

وقيم تيكل وآخرون، التغير في الغطاء الأرضي وتأثيره على تدهور الموارد الأرضية، في منطقة Kalu الوقعة في جنوب إثيوبيا Wello, Ethiopia خلال الفترة 1958-1986، كانت أبرز نتائجه تراجع أراضي الشجيرات بنسبة 51%， وزيادة مساحة الأرضي العمراني نسبة 33%. وأرجع تيكل السبب الرئيس في تغير الغطاء الأرضي إلى إزالة مساحات واسعة من الغابات والشجيرات لاستعمالها كوقود في المنازل بسبب عدم وجود تشريعات تحد من إزالة الغابات (Tekle *et al*, 2000).

كما قام حجازي وكالوب بدراسة التغير في استعمالات الأرضي في محافظة الدقهلية في مصر خلال الفترة 1985 و2000، وقد توصلت الدراسة إلى أن هناك تراجعاً في كل مساحة الأرضي الزراعية نتيجة للزحف العمراني، وتزايداً في مساحة الأرضي الحرداء نتيجة للتدهور البيئي (Hegazy, and Kaloop, 2015).

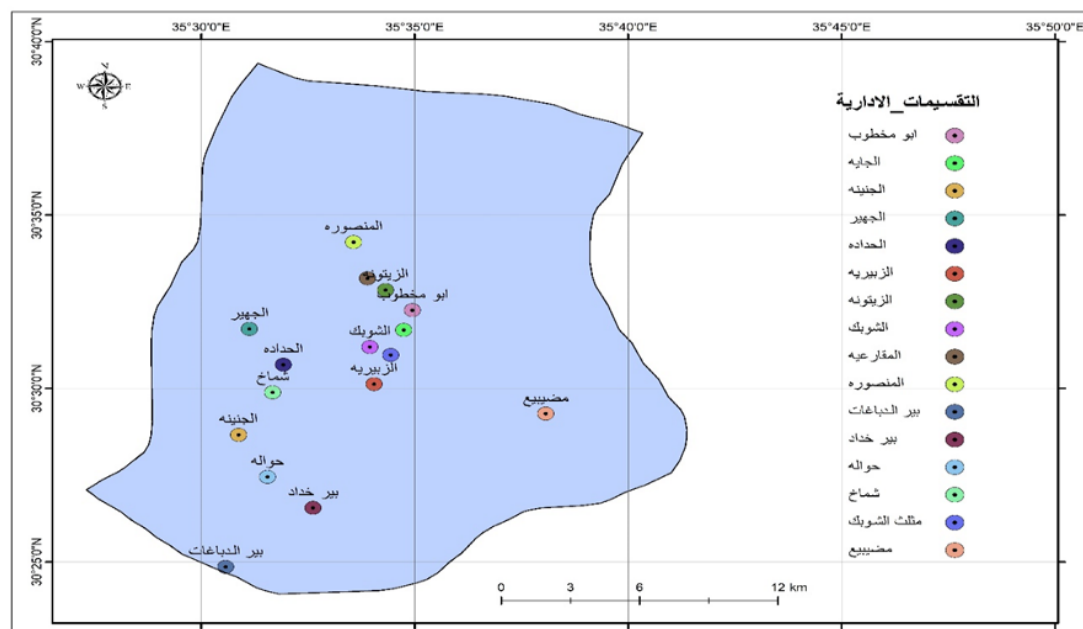
تناولت الدراسات السابقة المختلفة دراسة الغطاء الأرضي واستعمالات الأرضي باستخدام تقنيات مختلفة أهمها الاستشعار عن بعد ونظم المعلومات الجغرافية، ويبينت العوامل التي أدت إلى التغير في الغطاء الأرضي واستعمالات الأرضي خاصة الزيادة السكانية والتحضر والتغير المناخي والعوامل السياسية والاقتصادية.

وتأتي هذه الدراسة للتحليل المكاني وال زمني للغطاء الأرضي واستعمالات الأرضي في لواء الشوبك خلال الفترة 1990-2021، وإنتاج خرائط رقمية، وإعداد قاعدة معلومات رقمية،



الشكل (3): موقع منطقة الدراسة

المصدر: إعداد الباحثة بالاعتماد على الخريطة الطبوغرافية ونظم المعلومات الجغرافية



الشكل(4) التقسيمات الإدارية في نواة الشوبك

المصدر: إعداد الباحثة بالاعتماد على نظم المعلومات الجغرافية والخرائط

وتبلغ نسبة الأرضي التي يبلغ ارتفاعها أقل من 550 متر حوالي 5.55 % بينما تبلغ نسبة الأرضي التي يتراوح منسوبها بين 1485.5-1246 إلى 43.96 % من مساحة اللواء.

- **التضاريس:** يتراوح منسوب سطح الأرض ما بين 293 م (وادي الغوير) في المنطقة الشمالية الغربية إلى 1742 م (جبل العتوتو) في المنطقة الجنوبية الغربية، الشكل (5)، الجدول (2).

**الجدول (2): الارتفاعات في منطقة الدراسة**

الرقم	الارتفاعات	المساحة كم²	النسبة %
1	293 - 531.5	10.65	2.49
2	531.5 - 770	21.65	5.06
3	770 - 1008.5	52.72	12.31
4	1008.5 - 1247	109.29	25.52
5	1247 - 1485.5	188.27	43.96
6	1485.5 - 1724	45.69	10.67
المجموع كم			100
428.28			

من أصلاح السفوح لأنشطة البشرية المختلفة، وتشكل حوالي 324.6 كم² أي 75.79 % من مساحة اللواء.

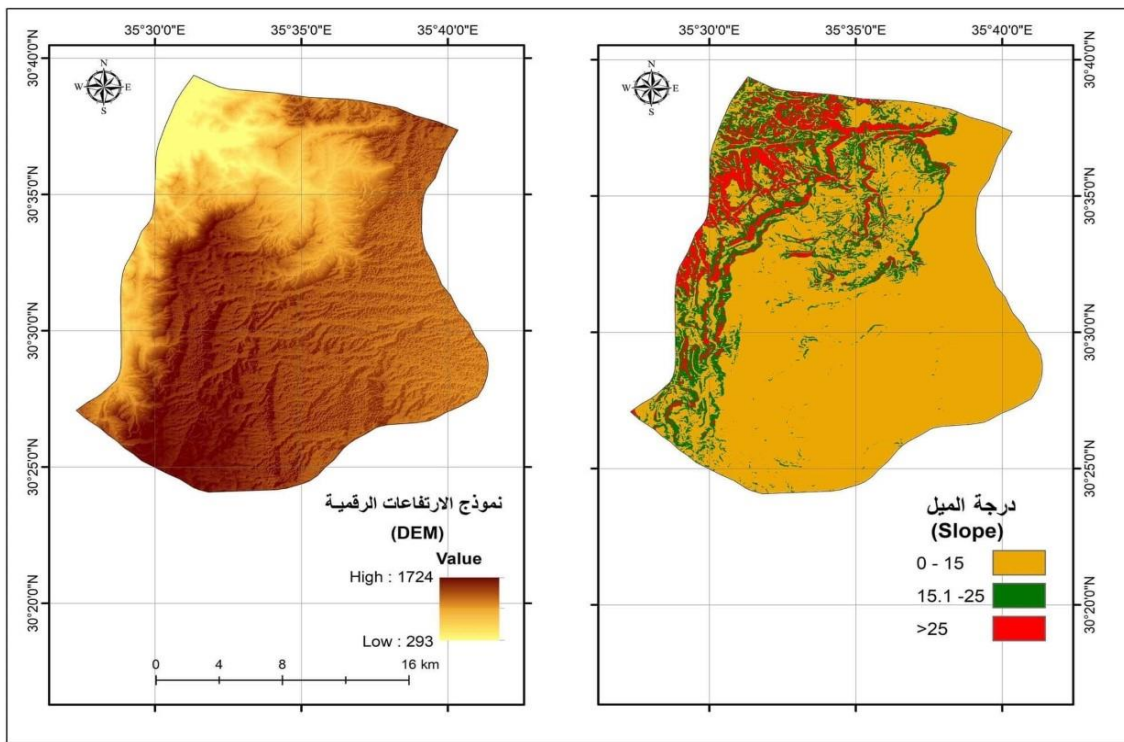
2 - مناطق ذات انحدار معتدل أو متوسط: وتشمل الانحدارات التي تتراوح درجاتها ما بين (15.1- 25°) أي التي نسبتها ما بين (27 % و 47 %) تقريباً، وتشكل 65.3 كم² حوالي 15.25 %، وتعد أقل أهمية من المناطق ذات الانحدار البسيط في مجال استغلالها في استعمالات الأرضي المختلفة.

3 - انحدار شديد: يشمل المنحدرات الشديدة الميل التي تكون درجة انحدارها (أكبر من 25°) والتي نسبتها ما بين (647 و 100%) ويواجهه استغلال تلك السفوح مشاكل عديدة لشدة الانحدار وعدم استقرار بعض السفوح. وتشكل 38.3 كم² أي حوالي 8.94 % من لواء الشوبك.

وتعد الانحدارات ذات أهمية كبيرة في الدراسات الخاصة بالخطيط لاستعمالات الأرضي، حيث تمثل أحد عناصر مظاهر السطح التي يتم تحليلها باستخدام أساليب قياسية وتحليلية لأنها ذات علاقة وطيدة بالنشاط البشري بأشكاله المختلفة كالعمران والطرق والجسور ومشاريع الري وغير ذلك، حيث يعتمد إقامة أي مشروع على طبيعة الانحدار وشدة واستقراره والعمليات الجيومورفولوجية التي تتعرض لها تلك السفوح.

تصنف الانحدارات حسب درجة الانحدار في لواء الشوبك إلى (الجدول 3) (الشكل 5):

1 - مناطق ذات انحدار بسيط أو خفيف: ويشمل المناطق ذات الميل الطبيعي التي تتراوح درجات الانحدار فيها بين (1-15°) ما بين (1 % و 27 %) وتعد تلك المنحدرات



**الشكل (5): الارتفاعات ودرجة الميل في منطقة الدراسة**

المصدر: إعداد الباحثة بالاعتماد على الخريطة الطبوغرافية ونظم المعلومات الجغرافية

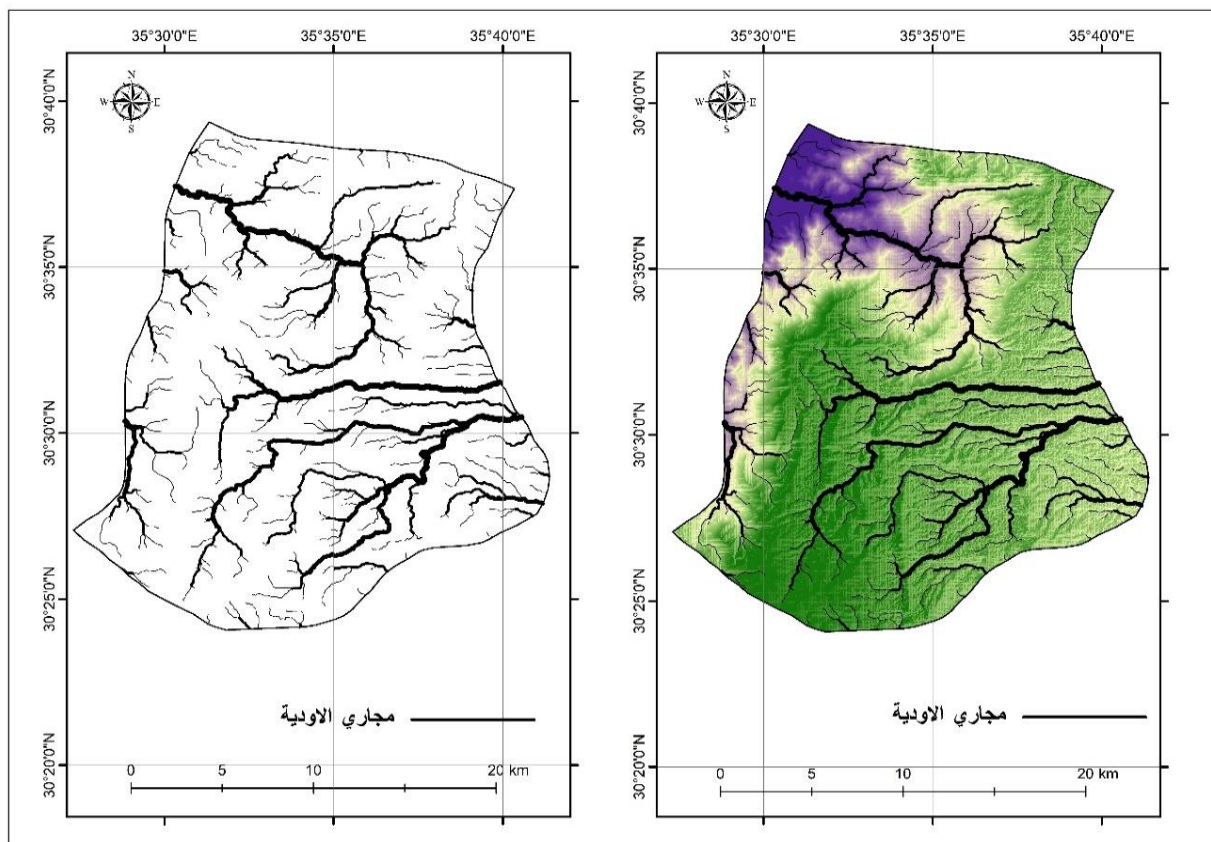
مناطق أودية تصريف للمطر، وجزء كبير من السيول الناتجة عن مياه الأمطار تتجه نحو وادي عربة وتجمع في الرمال المتواجدة فيها، كما أن جزءاً من هذه السيول يؤدي إلى تغذية المياه الجوفية (Al-Khashman *et al*, 2017).

ويخترق اللواء مجموعة من الأودية النهرية (الجدول 4) التي تتجمع فيها كميات كبيرة من التساقط المطري والتي تتجه باتجاه الغرب باتجاه منطقة وادي عربة الشكل (6). إن منطقة الشوبك من ناحية الهيدرولوجية تقسم إلى عدة

**الجدول (4): الأودية النهرية في لواء الشوبك**

اسم الوادي	مساحة الحوض /كم <sup>2</sup>
وادي فيفا وامرق	161
وادي خنزيرة	152
وادي زحل	96
وادي ثلوج	17

المصدر: الخشمان، الطراونة، 2016



الشكل (6): الأودية النهرية في لواء الشوبك

المصدر: إعداد الباحثة بالاعتماد على الخريطة الطبوغرافية ونظم المعلومات الجغرافية

على الحجر الرملي في مناطق محددة (وزارة الزراعة، 1994) (الجدول 5).

وتظهر تربة البحر المتوسط الصفراء التي تمتاز بقلة المادة العضوية في الطبقة (أ) حيث تكونت على مواد طينية مشتقة من صخور جيرية، وتختلط التربة الصفراء مع تربة الريجوسول (التربة المتعددة) في بعض المناطق السهلية حيث يمكن زراعتها بالخضروات وأشجار الفاكهة، وتوجد في هذه التربة بقايا غابات البلوط والعرعر الغربي الشوبك على المنحدرات المطلة على حفرة الانهدام. (التلاوي، 1989).

- التربة: تعطي منطقة الدراسة التربة النموذجية المبتدئة شبه الرطبة حيث يوجد الحصى داخل قطاع التربة بشكل واضح مما يؤثر على محتواها من الرطوبة كما يظهر في الشكل (7)، وكذلك من العناصر العذائية، ويزداد هذا النوع من التربة في الأجزاء الغربية من المنطقة بزيادة الأمطار، ويلاحظ أن الترب التي تطورت على الحجر الكلسي فقيرة ومستوى الخصوبة فيها متباين ومحتوها من كربونات الكالسيوم عالي.

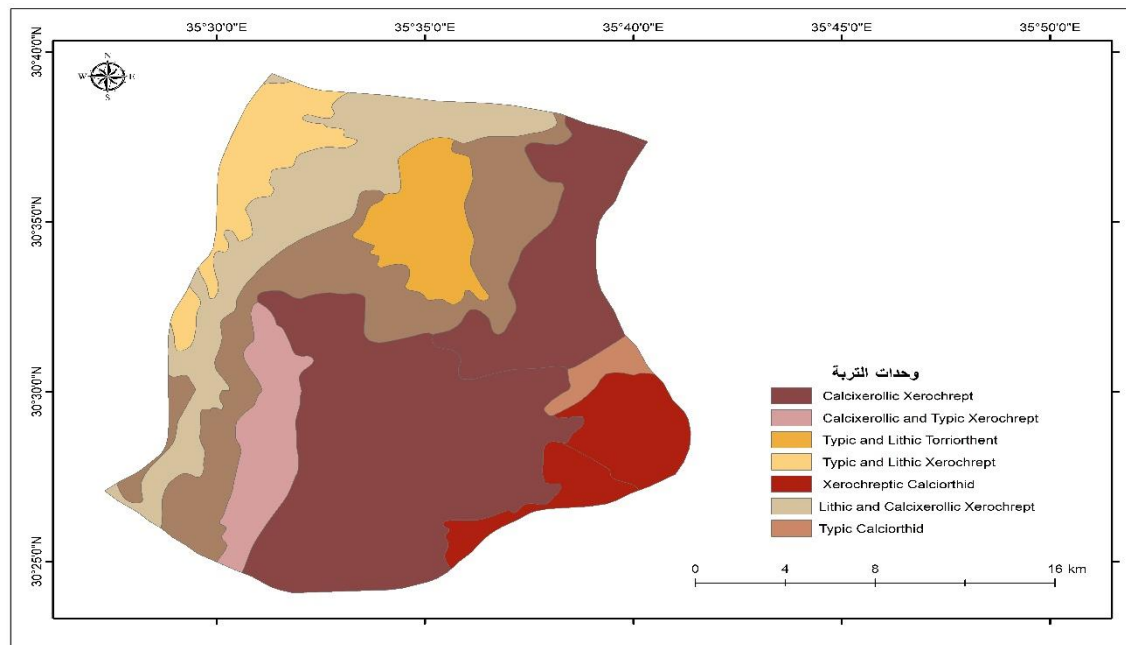
وتنشر الترب الرملية النموذجية شبه الرطبة التي تطورت



الشكل (7): التربة في لواء الشوبك

الشديدة الانحدار حيث تشكل حوالي 23.61% من المساحة الكلية، أما التربة Calcixerollic and Typic فتشكل حوالي 6.29% من مساحة اللواء. الشكل (8).

وتسود التربة Calcixerollic Xerochrept في المناطق الشرقية والجنوبية والوسطى من لواء الشوبك وتغطي حوالي 40.77%， وتسود التربة Typic Calciorthid في المناطق الوسطى المتوسطة الانحدار والمناطق الغربية



الشكل (8): التربة في لواء الشوبك

المصدر: إعداد الباحثة بالاعتماد على خريطة وزارة الزراعة

**الجدول (5): مساحة وحدات التربة في لواء الشوبك**

الرقم	وحدات التربة	المساحة كم <sup>2</sup>	النسبة %
1	Calcixerollic and Typic Xerochrept	101.12	6.29
2	Calcixerollic Xerochrept	174.59	40.77
3	Typic and Lithic Torriorthent	26.92	6.29
4	Typic and Lithic Xerochrept	25.42	1.37
5	Xerochreptic Calciorthid	33.57	5.93
6	Lithic and Calcixerollic Xerochrept	60.77	7.84
7	Typic Calciorthid	5.89	14.19
<b>المجموع كم</b>			<b>100</b>

توجد تكوينات أم عشرين الرملية وتكونين الديسي الرملي (الكامبري - الأوردو فيشي). وتتوسط مجموعة الكرنبا الرملية بعدم توافق على تكونين أم عشرين أو تكونين الديسي. (الخشنان، الطروانة، 2016).

تعاقب صخور الكريتاس الأعلى (مجموعة عجلون ومجموعة البلقاء) في المنطقة وبسمك كبيرة تمثل في تواجد لتعاقبات صخرية من الحجر الجيري والصوان والدولومايت والمارل والفوسفات والغنية بالمستحثات القديمة. يتوضع تكونين ضانا الرصيصي بعدم توافق على تكونين أم رجام. (الخشنان، الطروانة، 2016).

يظهر في شرق المنطقة صخور بازلتية وتشكل حوالي 35% من مساحة اللواء، والذي يدل على وجود نشاطات بركانية خلال العصر الثلاثي إلى البليستوسين (عبد، 2009). الرسوبيات الحديثة من البليستوسين عبارة عن حصى وغرين ناعم وغير متansom وتشكل والتي 22.85% من المساحة (الجدول 6).

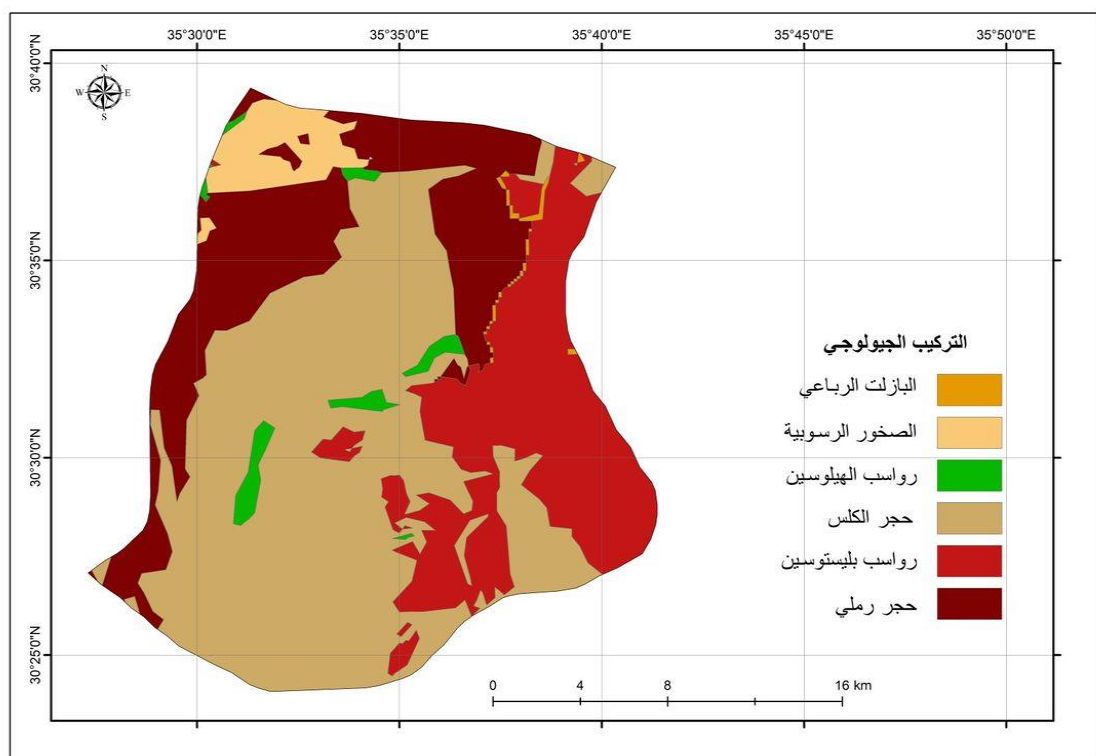
تقسم المنطقة إلى ثلاثة مناطق تركيبية وهي هضبة ضانا الاندفاعية التي تقع بين صدعين رئيين والمنطقتين شمال وجنوب الهضبة الاندفاعية. تمتاز بعض المناطق بوجود الانزلاقات الأرضية وأنهيار حطاميات السفوح على الطبقات الحاوية للمارل والطين وذلك نتيجة عملية الحف السريع للمناطق المرتفعة (الخشنان، الطروانة، 2016).

- **الجيولوجيا:** يقع لواء الشوبك ضمن مرتفعات حفرة الانهدام الشرقية فيما يعرف بمرتفعات الشراة وهي عبارة عن سلاسل جبلية ضيقة تمتد باتجاهة شمال / جنوب وتحدها الفوالق وتكتفتها الأودية السحيقة، مع ميل قليل نحو الشرق. وجزء من المرتفعات الغربية من منطقة الشوبك يشرف على وادي عربة.

تميز المنطقة بتعدها الشديد إذ تحتوي على مجموعة من التكوينات الجيولوجية ومتناز بتقوع جيولوجي واضح حيث توجد الصخور النارية والرسوبية بشكل متعدد وبأعمار جيولوجية قييمة وحديثة (الشكل 9).

تعود أقدم الصخور في منطقة الشوبك إلى الصخور النارية حيث تظهر صخور الجرانيتoid الكلسية القلوية والإبا الأنديزيتية والريوليتيتية المتكونة بعد حركة بناء الحمى الإفريقي ويتمثل في جزء من معقدي العقبة وعربة وتشكل حوالي 50.04% من مساحة اللواء، حيث يرجع عمرها إلى أبد الحياة البدائية المتأخرة ويعلوها بعدم توافق صخور رسوبية من الكتوني المصاحب لتصدع البحر الميت الانتقالية. (الخشنان، الطروانة، 2016).

تتمثل مجموعة رم الرملية بتكونين سالب الأركوزي (العصر الكامبري - الأوردو فيشي)، وأما البرج دولومايت فيتمثل في فئة النمرة الدولومي (العصر الكامبري)، كما



**الشكل (9) التكوينات الجيولوجية في لواء الشوبك**

المصدر: إعداد الباحثة بالاعتماد على نظم المعلومات الجغرافية والخريطة الجيولوجية

**الجدول (6) التكوينات الجيولوجية في لواء الشوبك**

الرقم	المجموع كم	التركيب الجيولوجي	المساحة كم²	النسبة %
1		البارلت الرباعي	1.52	0.35
2		الصخور الرسوبيّة	17.73	4.14
3		رواسب الهيلوسين	7.34	1.71
4		حجر الكلس	214.29	50.04
5		رواسب باستوسين	97.87	22.85
6		حجر رملي	89.54	20.91
المجموع كم			428.28	100

المصدر: إعداد الباحثة بالاعتماد على الخريطة الجيولوجية ونظم المعلومات الجغرافية

ويظهر الجدول (7) توزيع معدلات الهطول المطري حيث تتلقى %47.83 من مساحة اللواء معدلات أمطار تتراوح بين 200-250 ملم، و%34.3 تتلقى 250-300 ملم، و% 5.36 من مساحة الشوبك تتراوح معدلات الأمطار فيها 300-350 ملم (الشكل 10).

تؤثر معدلات الأمطار في أنماط الغطاء الأرضي واستعمالات الأراضي المختلفة حيث يعمل المطر على ري المحاصيل الشتوية ويغسل جميع الأملاح المتواجدة في الأرضي ويحسن جودتها وإنتجيتها. كما أن مياه الأمطار بخلاف الري تقوم بغسل جميع الفطريات والبكتيريا والأذية على النباتات خاصة المحاصيل الحقلية. كما ارتبطت الكثافة السكانية العالية في المملكة بالأمطار الغزيرة النسبية شتاءً وباعتدال الطقس صيفاً وشتاءً بوجه عام.

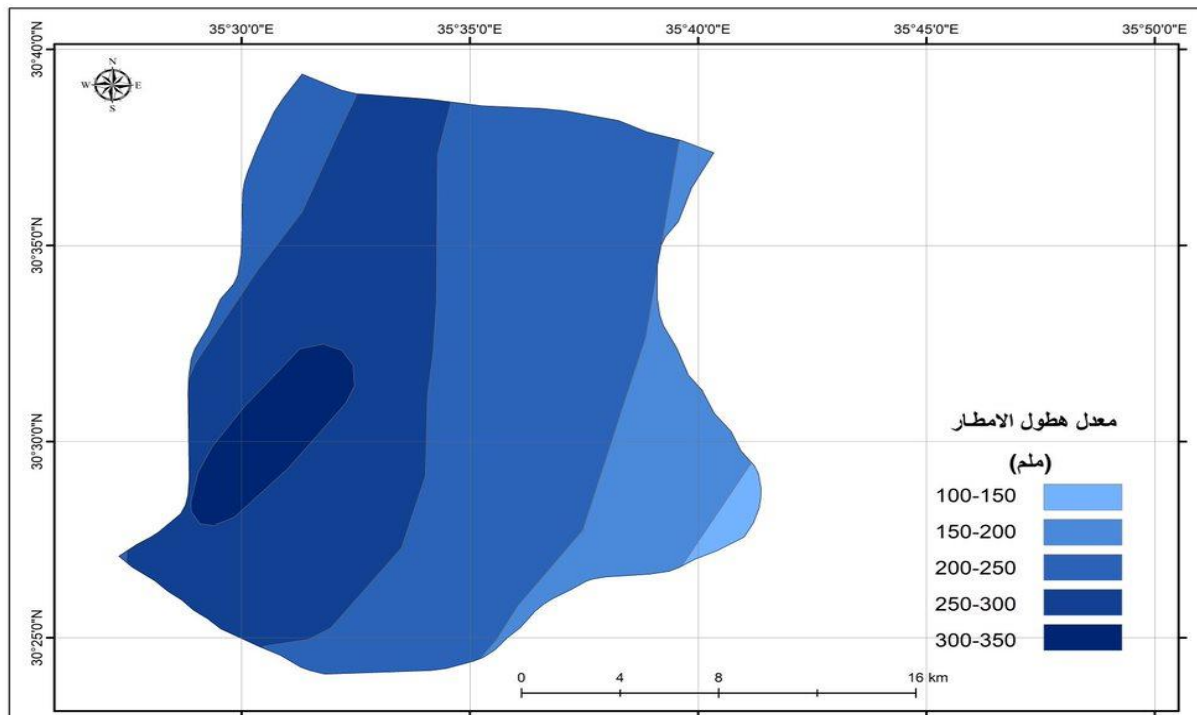
- المناخ: يسود مناخ إقليم البحر المتوسط الذي يمتاز بموسم ماطر نسبياً من تشرين الأول ونيسان وتتراوح كميات الهطول ما بين 150 ملم إلى 350 ملم /السنة، الشكل (10) ويغلب تساقط الثلوج في فصل الشتاء.

تختلف الخصائص المناخية في اللواء بحكم منسوبها وطبوغرافيتها، حيث يسود:

- المناخ المعتمد البارد في المناطق التي يزيد منسوبها على 1300 م ويقل فيها معدل حرارة تموز عن 22°.

- المناخ المعتمد الدافئ في المناطق التي يتراوح منسوبها 1000-1300 م ويزيد فيها معدل حرارة تموز على 22°.

- مناخ الاستبس البارد حيث يقل المعدل السنوي للأمطار عن 300 مل ويقل فيها المعدل السنوي للحرارة عن 18°. (شحادة، 1990؛ البحيري، 1991).



الشكل (10) معدل هطول الأمطار في لواء الشوبك

المصدر: إعداد الباحثة بالاعتماد على نظم المعلومات الجغرافية

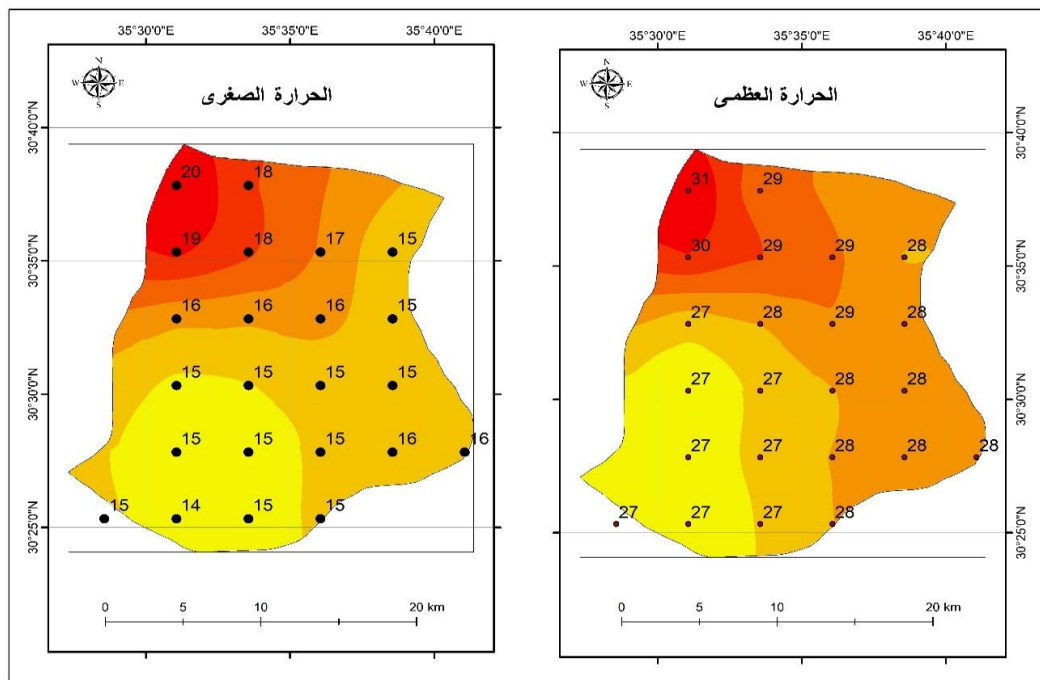
### الجدول (7) معدل هطول الأمطار في لواء الشوبك

الرقم	معدل هطول الأمطار (ملم)	المساحة كم <sup>2</sup>	النسبة %
1	100-150	4.75	1.11
2	150-200	48.81	11.40
3	200-250	204.85	47.83
4	250-300	146.90	34.30
5	300-350	22.97	5.36
المجموع كم		428.28	100

المصدر: إعداد الباحثة بالاعتماد على بيانات وزارة المياه والري

المناطق الشمالية الغربية.  
وتتراوح درجات الحرارة العظمى بين 27-31 م° في شمال غرب اللواء، وتتراوح درجات الحرارة الصغرى بين 14-20 م° في جنوب غرب اللواء. الشكل(11). ) .

يبلغ المعدل السنوي لدرجة الحرارة 19.2 م°، وتتراوح درجات الحرارة العظمى ما بين 27 م° في الجنوب الغربي و 31 م° في المناطق الشمالية الغربية من اللواء، أما درجات الحرارة الصغرى فتتراوح ما بين 14 م° في الجنوب و 20 م° في



الشكل(11): معدل درجات الحرارة العظمى والصغرى في لواء الشوبك

المصادر الطبيعية منذ فترة الستينيات من القرن الماضي وقد أثبتت الدراسات وجود كميات اقتصادية في أكثر من منطقة حسب الدراسات التي أجرتها سلطة المصادر الطبيعية.

■ **الإسمنت:** توجد المواد الخام لصناعة الإسمنت في منطقة الشوبك حيث يستقاد منها في مصنع الرشاديه وهذه المواد تتمثل في الحجر الجيري والطف البركانى والمادة الطينية (الصلصال) والجبصين.

■ **مواد الحصمة:** يستقاد منها في رصف وتعبيد الطرق وهي موجودة في عدة أودية في منطقة الشوبك.

■ **البازلت:** يوجد في عدة مناطق ويمكن الاستقادة منه في صناعة الصوف الصخري ومورد البناء والطرق.

#### **الخصائص الديموغرافية:**

بلغ عدد السكان في منتصف عام 1961م حوالي 426 نسمة في لواء الشوبك (426 نسمة) (الشكل 12). وقد شهد عدد السكان زيادة حيث وصل عام 1979 حوالي 7139 نسمة. ووصل إلى 11087 نسمة منهم 5802 نسمة من الذكور و 5284 نسمة من الإناث، وارتفع عدد السكان عام 2015 م إلى 19279 نسمة منهم 9728 من الذكور و 9551 نسمة من الإناث وبلغ عدد الأسر 3954 ، وفي عام 2021 بلغ عدد السكان 22360 نسمة منهم 11290 ذكرًا و 11070 من الإناث وبلغ عدد الأسر 4586 أسرة (دائرة الإحصاءات العامة، 1961-2021)، وقد تعرض لواء الشوبك للجوع عدد من السوريين إبان الأزمة السورية عام 2011 حيث وصل عددهم 663 في بلدة الشوبك و 103 لاجئ في الزيرية و 181 لاجئًا في منطقة المثلث (الشكل 13).

- **الغطاء النباتي:** تمتاز منطقة الدراسة بقلة الغطاء النباتي الطبيعي باستثناء بعض الأشجار والشجيرات حول مجاري السيول مثل لحية التيس، ونفل، والعشير، عطر، عشبة روبرت، والسيسبان، الشعير البصيلي، وسبيله، القبا، الدبقة، شقائق النعمان، شقيقش، الربة الشائعة، حمم، باصول، قفعة، بلبوس. كما تتواجد بقايا الأشجار القديمة مثل أشجار الدلب الشرقي (*platanus orientalis*) على ارتفاع 1130 م ، إضافة إلى إشجار البطم الإطلسي (*pistacia atlantica*) في منطقة بئر الدباغات ويعتقد بأنه تم قطعها إثناء الحرب العالمية الأولى. ومعظم هذه الإشجار محروقة من الداخل وارتفاعاتها حوالي سبعة إمتار ويقدر عمرها بين 400-350 عاماً، كما توجد بعض أشجار السنديان المقاوم للجفاف خاصة في المناطق التي يتراوح انحدارها بين 40-50 % وأهم النباتات الموجودة السيسبان (*colutea istria*) والغطاء النباتي فقير جداً نتيجة للرعى الجائر حيث تعاني النباتات الرعوية المستساغة من تدهور مستمر، والتجديد الطبيعي في هذه النباتات يعتبر متوسطاً نتيجة للرعى الجائر ويصعب تجديدها عن طريق الإخلاف (التلاوي، 1989).

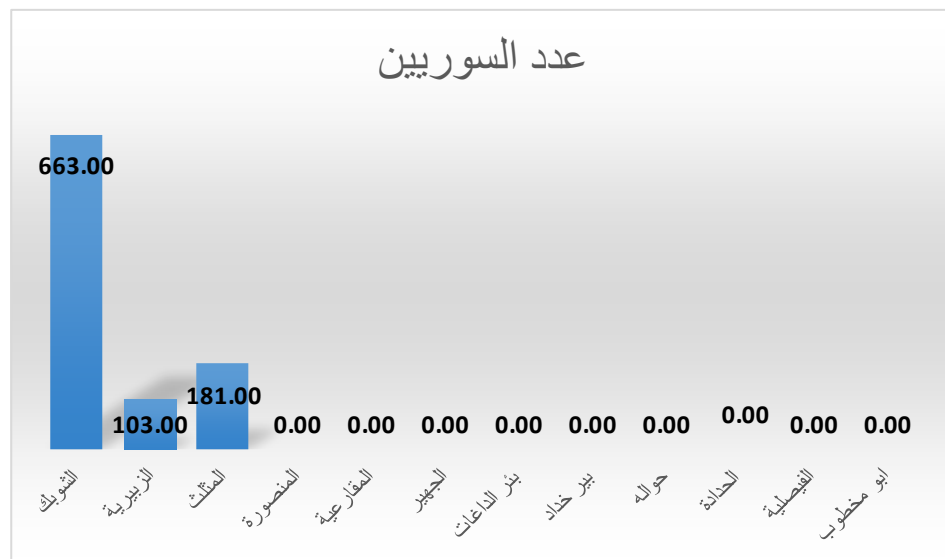
#### **- الخامات المعدنية في منطقة الشوبك:**

■ **النحاس والمنغنيز:** يوجد في المنطقة كميات اقتصادية من خامات النحاس والمنغنيز، ويمكن أن تحتوي هذه الخامات على كميات اقتصادية من العناصر الأرضية النادرة الاستراتيجية التي يمكن أن تزيد من قيمة هذه الخامات. تعتبر خامات النحاس من المعادن التي تم تعدينها عبر العصور القديمة وال Shawahد على ذلك ما زالت موجودة في المنطقة، وقد بدأ الاهتمام بموضوع النحاس من قبل سلطة



الشكل (12): تطور عدد سكان التجمعات السكانية في لواء الشوكي

المصدر : إعداد الباحثة باستخدام بيانات دائرة الاحصاءات العامة للأعوام 2021، 2015، 2009، 2004، 1979، 1961



الشكل (13) عدد المهاجرين السوريين عام 2015 في منطقة الدراسة

المصدر: دائرة الإحصاءات العامة ، 2011

من القرى، وأراضي الخدمات المختلفة، والطرق (الشكل 15)، وقد كانت هذه المناطق تشغّل ما نسبته 1.12% من المساحة الكلية للواء الشوبك عام 1990، وارتفعت عام 2021 لتصل إلى 3.35% من المساحة الكلية، وبلغ معدل التغير في هذه الأرضي حوالي 88.91 %، خلال الفترة 1990 و2005 وبلغ 59.02 % خلال الفترة 2005 و2021 (الجدول 8). توسيع مساحة الأرضي المبنية خلال فترة الدراسة ولعل السبب في ذلك يعود إلى الزيادة الطبيعية في عدد السكان، والهجرة القسرية؛ إذ شهدت منطقة الدراسة توافد اللاجئين السوريين خلال الفترة 2011-2015، إضافة إلى التحسن في مستويات الدخل.

### النتائج والتوصيات

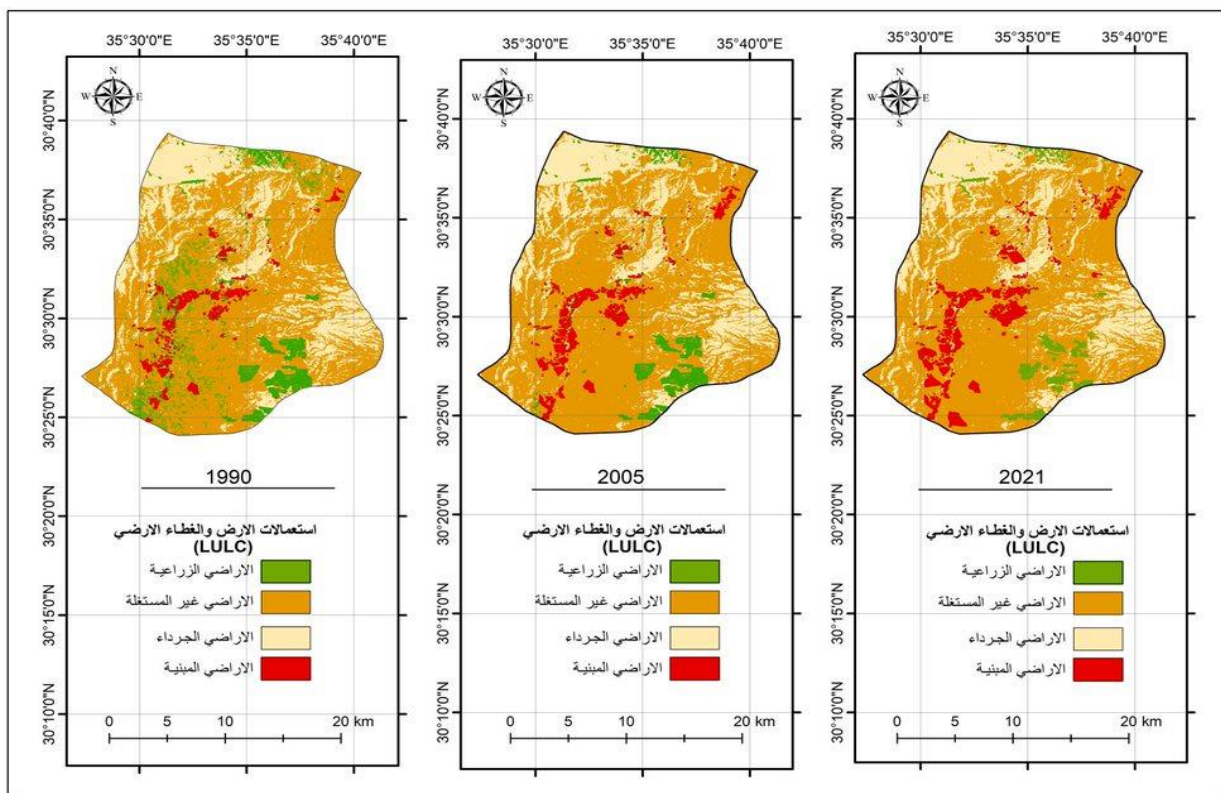
توصلت الدراسة إلى مجموعة من النتائج أهمها:

#### 1- أنواع الغطاء الأرضي واستعمالات الأرضي في لواء الشوبك

يوضح شكل (14) توزيع الغطاء الأرضي واستعمالات الأرض في لواء الشوبك، للأعوام 1990 و2005 و2021 م، وقد تم تمييز أربعة أنواع رئيسية للغطاء الأرضي واستعمالات الأرضي، وهي كما يلي:

#### أولاً: الأرضي المبنية **Built up land**

وتحتوي على المناطق السكنية والطرق والخدمات التعليمية والصحية والتجارية، ويحتوي لواء الشوبك على عدد



شكل (14): توزيع الغطاء الأرضي واستعمالات الأرض لعام 1990-2021

المصدر: إعداد الباحثة بالاعتماد على الصور الفضائية ونظم المعلومات الجغرافية

**جدول (8): معدل التغير في أنواع الغطاء الأرضي واستعمالات الأرضي في لواء الشوبك خلال الفترة 1990-2021**

معدل التغير %	معدل التغير % 2021-1990	2021	معدل التغير % 2005-1990	2005	1990	الغطاء الأرضي واستعمالات الأرضي	الرقم			
		النسبة %	المساحة كم²	النسبة %	المساحة كم²	النسبة %	المساحة كم²			
200.4	59.02	3.35	14.36	88.91	2.11	9.03	1.12	4.78	الأراضي المبنية	1
-84.14	-40.26	1.63	6.99	-73.80	2.73	11.70	10.29	44.06	الأراضي الزراعية	2
10.3	1.40	68.11	291.69	8.78	67.17	287.67	61.74	264.44	الأراضي غير المستغلة	3
0.21	-3.87	26.91	115.24	4.24	27.99	119.88	26.85	115.00	الأراضي الجرداء	4
		100	428.28		100	428.28	100	428.28	مجموع المساحة كم²	



**الشكل 15: المناطق المبنية في لواء الشوبك**

البادية الجنوبية مثل مزارع: الهشموني، الطراونة، سليمان عرار، عليان، والفسق الحلبي في منطقة الزبيرة والإقليم الزراعي في نجل - تنتشر المحاصيل الحقلية ومن أهمها القمح خاصة في المناطق القليلة الانحدار مثل البقعة، الجهير، المنصورة، وحبوب الحمص والعدس في منطقة البقعة والمنصورة.

#### ثانياً: الأراضي الزراعية Agriculture land

وتحتوي على أراضي الأشجار المثمرة المختلفة:

- تنتشر أشجار الزيتون في المنصورة والمغارعية والزبيرة ونجل - خاصة في وادي نجل -، بئر خداد والمثلث.
- توجد أشجار العنب، والرمان، والممشمش والتفاح والدراق، كما هو الحال في المنطقة ما بين الفيصلية وقرى

مساحة اللواء عام 1990، وترجع المساحة لتصل إلى حوالي 2.73 % عام 2005، و 1.63 % عام 2021. بلغ معدل التغير -73.8 % خلال الفترة 1990-2005، و -40.26 % خلال الفترة 2005-2021.

- تسود زراعة الخضروات المحمية والمكشوفة في مناطق الجهير، البقعة، (أبو مخطوب)، ومثلث (أبو عيد)، ونجل.

وقد كانت الأراضي الزراعية تشكل حوالي 10.29 % من



**الشكل (16): الأراضي الزراعية في لواء الشوبك**

المصدر: تصوير الباحثة بتاريخ 30/4/2022

تدهور الأراضي، وتراجع الأراضي الزراعية، وتوسيع الأراضي الجرداء، والتصرّح وقد يعود ذلك إلى جملة أسباب لعل أهمها:

1. تراجع عدد المشغلين في القطاع الزراعي والعزوف عن العمل الزراعي بسبب عدم جدوى العمل الزراعي، والتوجه للعمل في القطاعات الحكومية والخاصة التي تضمن للشخص دخلاً مادياً ثابتاً، مما أدى إلى تحول مساحات واسعة من

ويظهر الشكل (17) التوزيع الجغرافي لكثافة الغطاء النباتي خلال فترة الدراسة، وأظهرت دراسة مؤشر الاختلاف النباتي تراجعاً في الغطاء النباتي، حيث تراجعت نسبة تغطية نوء الشوبك بالغطاء النباتي الكثيف من  $44.06 \text{ كم}^2/\text{عام}$  1990 إلى  $11.7 \text{ كم}^2/\text{عام}$  2005، وبلغت  $6.99 \text{ كم}^2/\text{عام}$  2021، خاصة في المناطق الشمالية والوسطى من اللواء، وأصبحت معظم الأراضي قليلة الغطاء النباتي مما يدل على

كما أدى ذلك إلى تراجع نصيب الفرد من المياه، وارتفاع تكلفة المياه على المزارعين.

5. ضعف الخدمات الزراعية وضعف تسويق المنتجات الزراعية، وعدم وجود طرق زراعية كافية للوصول إلى الأرضي الزراعية، وعدم وجود صيانة لينابيع المياه للمحافظة على المياه.

6. قيام البلدية بتوسيع حدودها على حساب مساحات واسعة من الأراضي.

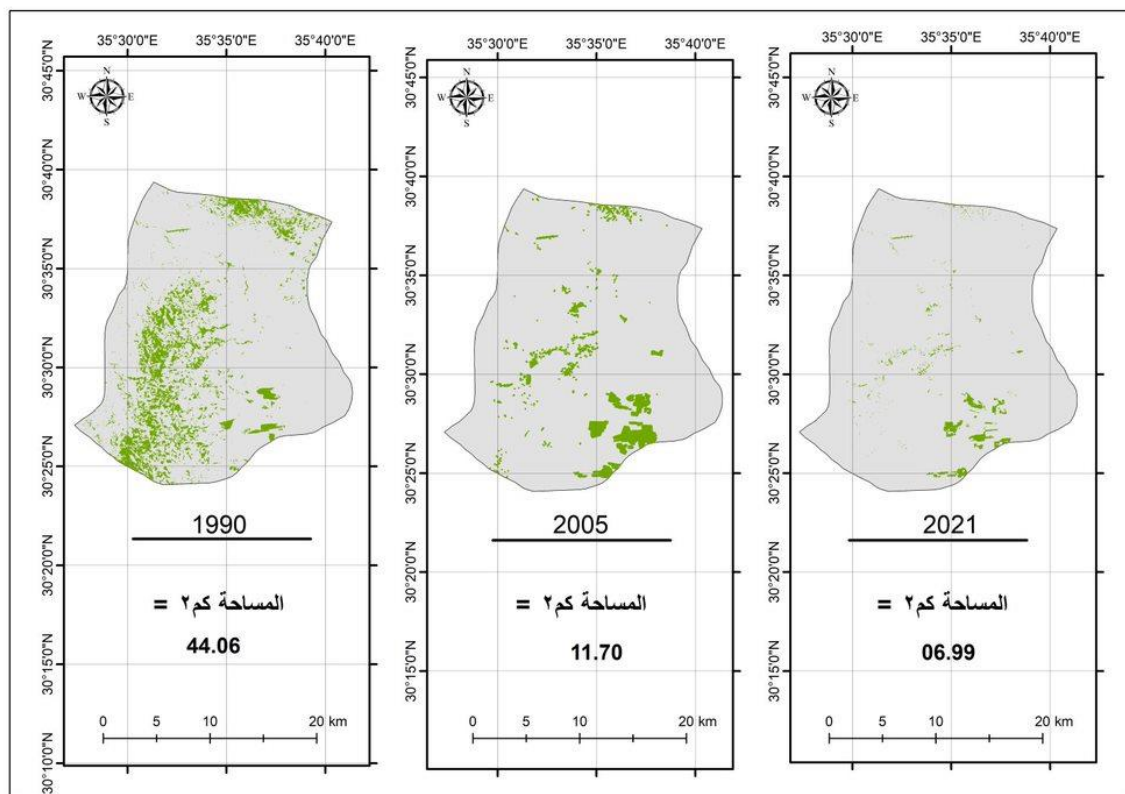
7. تراجع حجم الملكيات الزراعية نتيجة لنظام الإرث، والزحف العمراني على حساب الأرضي الزراعية، (طعيمة، 2010).

الأراضي الزراعية إلى أراضٍ بور وغير مستغلة خاصة بالأراضي المزروعة بالخضروات حيث تتعرض إلى الخسارة بسبب تدني الأسعار حيث يضطر المزارع لترك زراعة الخضروات، وعزوف أصحاب الأرضي الصالحة للزراعة خاصة محصول القمح عن زراعة الأرضي وتتركها بوراً.

2. تراجع الأوضاع الاقتصادية للسكان وتقشّي ظاهريّة الفقر والبطالة في محافظة معان بشكل عام.

3. ارتفاع أسعار الأرضي ورواج تجارة بيع الأرضي واستغلالها لغايات البناء.

4. تراجع كمية الأمطار نتيجة للتغير المناخي مما أدى إلى تدهور الغطاء الأرضي (Shehadeh & Ananbeh، 2013)، وانعكاس ذلك على الإنتاج الزراعي،



الشكل (17): التوزيع الجغرافي لكتافة الغطاء النباتي NDVI في لواء الشوبك حسب معطيات مرئية لاندستات خلال الفترة 2021-1990

المصدر: إعداد الباحثة بالاعتماد على نظم المعلومات الجغرافية

العمل في القطاع الزراعي خاصة الحبوب لتدني المردود الاقتصادي، وهجرة الأراضي الزراعية، ونفاذ الملكيات الزراعية، وتتبّع تساقط الأمطار، وقلة مصادر المياه، وقد تعرّضت مجموعة قرى الشوبك للتدهور البيئي نتيجة لتغير الظروف المناخية وتناقص الأمطار، إضافة إلى دور الإنسان واستنزافه للأحراج دون تبرير للعواقب. وقد بدأ هذا التبديد منذ القدم وعبر العصور، وقد أدى إزالة الأشجار إلى سلسلة من التغييرات الأيكولوجية، والتي أدت بدورها إلى تدهور التربة والغطاء النباتي (البحيري، 1991). (الشكل 18).



الشكل 18: الأرضي غير المستغلة

المصدر: تصوير الباحثة بتاريخ 30/4/2022

والانجراف والتعرية حيث تتعرض ترب السفوح الجبلية إلى التعرية المائية الناجمة عن العواصف المطرية، إضافةً إلى فقدان خصوبة التربة نتيجة لاستخدام الطرق التقليدية في الزراعة. علماً بأنه يمكن الاستفادة من بعض هذه الأراضي، خاصة الصخرية القليلة الانحدار للاستعمال السكني، للحد من الزحف العمراني على المناطق الزراعية والغابات. (Were *et al*, 2013)

### ثالثاً: الأرضي غير المستغلة:

وهي الأرضي المغطاة بالحشائش والأعشاب والأراضي التي كانت تزرع بالحبوب وتم هجرها وتركها بوراً، وتنظر في اللواء. وبلغت مساحتها حوالي 61.74% عام 2005 وتناثرت مساحتها إلى 67.11% عام 2021 وبلغ معدل التغيير 8.78% ووصلت إلى 68.11% عام 2005، وبلغ 1.4% خلال الفترة 1990-2005 وبلغ 4% خلال الفترة 2005-2021 حيث تزايدت مساحة الأرضي غير المستغلة خلال فترة الدراسة؛ نتيجة للرعى الجائر، وقلة المياه، والعزوف عن

### رابعاً: الأرضي الجراء:

وهي عبارة عن الأسطح التي تقطعت بفعل الأودية الفرعية والأراضي الصخرية والأراضي المنحدرة (الشكل 19 أ و ب)، وقد اتسعت المساحة من 26.85% عام 1990 إلى 26.91% عام 2015، وتراجعت لتشكل نسبة 27.99% عام 2021. بلغ معدل التغيير 4.24% خلال الفترة 1990-2005، إذ زادت مساحة الأرضي الجراء ولعل السبب في ذلك يعود إلى: التغير المناخي والجفاف والتصرّح



(أ)



(ب)

الشكل 19 أ و ب: الأراضي الجرداة

المصدر: تصوير الباحثة بتاريخ 30/4/2022

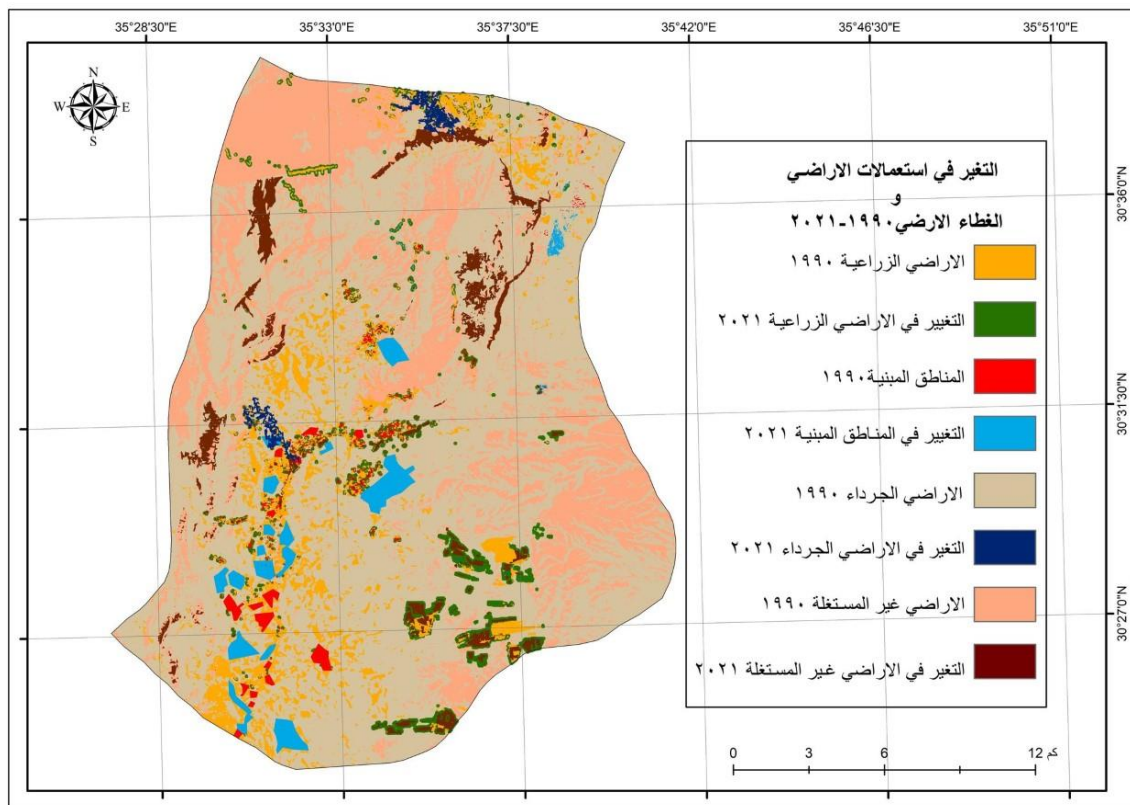
المختلفة مما أدى إلى البناء بالقرب من الخدمات التي تم إنشاؤها على أرض زراعية، كما تحول 31 كم<sup>2</sup> إلى أراضٍ غير مستغلة. وتحول 4.26 كم<sup>2</sup> من الأراضي غير المستغلة إلى أراضٍ مبنية، و 0.24 كم<sup>2</sup> إلى أراضٍ جرداة. وقد جاء هذا التحول نتيجة لأسباب طبيعية أهمها قلة الأمطار وانجراف التربة. (الشكل 20).

### ثانياً: التحول في الغطاء الأرضي

يلاحظ من خلال إجراء تحليل المطابقة (Overlay) لخرائط أنواع الغطاء الأرضي واستعمالات الأرضي للأعوام 1990-2021 (الجدول 9)، تحول حوالي 3 كم<sup>2</sup> من الأراضي الزراعية إلى أراضٍ مبنية، إذ توسيع الأراضي المبنية على حساب الأراضي الزراعية نتيجة لسوء التخطيط في اختيار موقع الخدمات بأنواعها

جدول(9): مصفوفة التحول في الغطاء الأرضي واستعمالات الأرضي من نوع آخر خلال الفترة 1990-2021

المجموع 1990	الأراضي الجرداء	الأراضي غير المستغلة	الأراضي الزراعية	الأراضي المبنية	نوع الغطاء الأرضي
					واستعمالات الأرضي
4.78	0	0	0	4.78	الأراضي المبنية
44.06	0	31.75	6.99	5.32	الأراضي الزراعية
264.44	0.24	259.94	0	4.26	الأراضي غير المستغلة
115	115	0	0	0	الأراضي الجرداء
	115.24	291.69	6.99	14.36	المجموع 2021



الشكل (20): التحول في الغطاء الأرضي واستعمالات الأرضي في نواة الشوبك

المستخدم ومعامل كابا ويعرض الجدول (10) مصفوفة الخطأ ونتائج تقييم الدقة للبيانات الرقمية المستخدمة للأعوام 1990، 2005 و 2021. وقد اختبرت 160 عينة عشوائية لأنواع

ثالثاً: تقييم دقة التصنيف استخدمت عدة طرق لتقييم دقة تصنيف المرئيات الفضائية المصنفة وهي الدقة الكلية ودقة المنتج ودقة

وبلغت الدقة الكلية أكثر من 87.54 % للأعوام 1990 و2005، وبلغت 93.33 % للعام 2021، وهي نسبة مقبولة عالمياً (Fan *et al.*, 2008).

الغطاء الأرضي واستعمالات الأرضي إذ حددت بالاعتماد على الخرائط الطبوغرافية، والمرئيات الفضائية التي غطت المنطقة، بالإضافة إلى التدقيق الميداني باستخدام نظام التوقيع العالمي.

**الجدول (5): دقة التصنيف لأنواع الغطاء الأرضي واستعمالات الأرضي في لواء الشوبك للأعوام 1990-2021**

مصفوفة الخط للعام 1990 (Error Matrix)						
دقة المستخدم %	مجموع الصنوف	الأراضي الجراء	الأراضي غير المستغلة	الأراضي الزراعية	الأراضي المبنية	الغطاء النباتي واستعمالات الأرضي
80	41	4	1	3	33	الأراضي المبنية
88	40	1	1	35	3	الأراضي الزراعية
90	42	1	38	1	2	الأراضي غير المستغلة
92	37	34	0	1	2	الأراضي الجراء
معامل كابا	<b>160</b>	40	40	40	40	مجموع الأعمدة
80.03	87.54= الدقة الكلية	85	95	88	83	دقة المنتج %

مصفوفة الخط للعام 2005 (Error Matrix)						
دقة المستخدم %	مجموع الصنوف	الأراضي الجراء	الأراضي غير المستغلة	الأراضي الزراعية	الأراضي المبنية	الغطاء النباتي واستعمالات الأرضي
88	42	1	2	2	37	الأراضي المبنية
88	41	0	3	36	2	الأراضي الزراعية
94	36	1	34	1	0	الأراضي غير المستغلة
93	41	38	1	1	1	الأراضي الجراء
معامل كابا	<b>160</b>	40	40	40	40	مجموع الأعمدة
80.03	87.54= الدقة الكلية	85	95	88	83	دقة المنتج %

مصفوفة الخط للعام 2021 (Error Matrix)						
دقة المستخدم %	مجموع الصنوف	الأراضي الجراء	الأراضي غير المستغلة	الأراضي الزراعية	الأراضي المبنية	الغطاء النباتي واستعمالات الأرضي
95	38	0	1	1	36	الأراضي المبنية
93	41	0	1	38	2	الأراضي الزراعية
95	39	1	37	0	1	الأراضي الجراء
93	42	39	1	1	1	الأراضي غير المستغلة
معامل كابا	<b>160</b>	40	40	40	40	مجموع الأعمدة
88	93.77= الدقة الكلية	98	93	95	90	دقة المنتج %

كشف التغير المكاني والزمني في أنواع الغطاء الأرضي واستعمالات الأرضي.

كما أظهرت النتائج أن مقدار الدقة بالنسبة لدقة المنتج

وأظهرت نتائج معامل كابا للتفسير مصفوفة الخط %80.3 للأعوام 1990 و1996 و2005، و88 % للأعوام 2021. مما يعني فعالية استخدام المرئيات الفضائية في

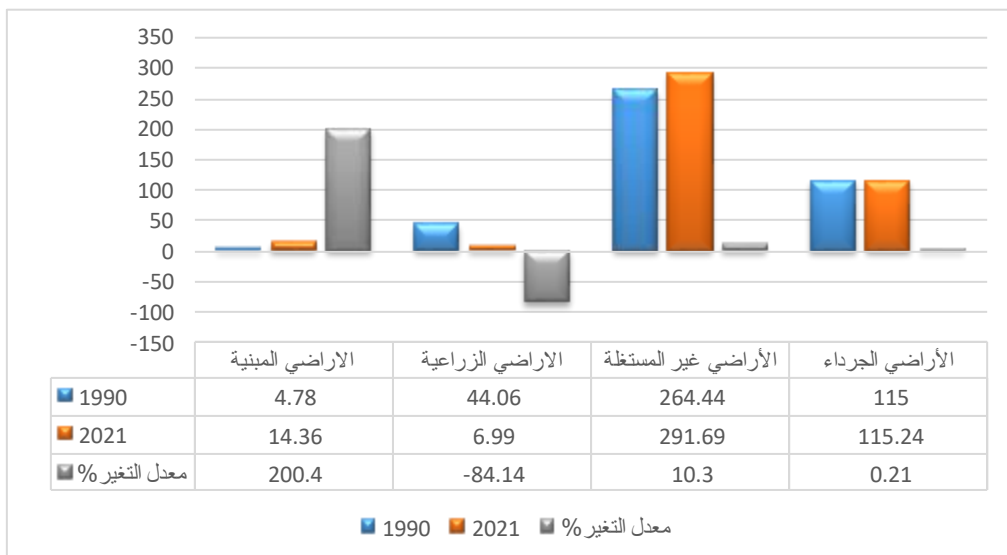
من العوامل الطبيعية والبشرية، وتم استنتاج الحقائق التالية:  
أولاً: يحتوي لواء الشوبك على أربعة أنواع رئيسة من الغطاء الأرضي واستعمالات الأرضي وهي الأرضي المبنية، والأراضي الزراعية، والأراضي الجرداة، والأراضي غير المستغلة. وأن المساحة المستغلة للأنشطة البشرية تقتصر فقط على الأرضي المبنية، والأراضي الزراعية، وبلغ معدل التغير في الأرضي المبنية خلال هذه الفترة 1990-2021 حوالي 200.4%. وبلغ معدل التغير في الأرضي الزراعية -84.13% خلال الفترة ذاتها. ويعود ذلك إلى الزيادة السكانية والإقبال على العمل في الوظائف الحكومية دون غيرها.  
ثانياً: يلاحظ من معدلات التغير أن أعلى معدل تغير حدث خلال الفترة 1990/2021 في كافة أنواع الغطاء الأرضي واستعمالات الأرضي خاصة في الأرضي المبنية وذلك نتيجة للنمو السكاني، حيث بلغ النمو السكاني في محافظة معان خلال الفترة 1994-1979 حوالي 4.1%، وبلغ معدل الإنجاب الكلي 6.9 أطفال للسيدة عام 1979 وانخفض إلى 3.9 أطفال عام 1998 للأسرة (الختاتة، 1999)، (الشكل 16). وهذا يلاحظ في معظم الدراسات السابقة حيث تشهد المناطق المبنية توسيعاً ملحوظاً نتيجة للزيادة السكانية والهجرة.

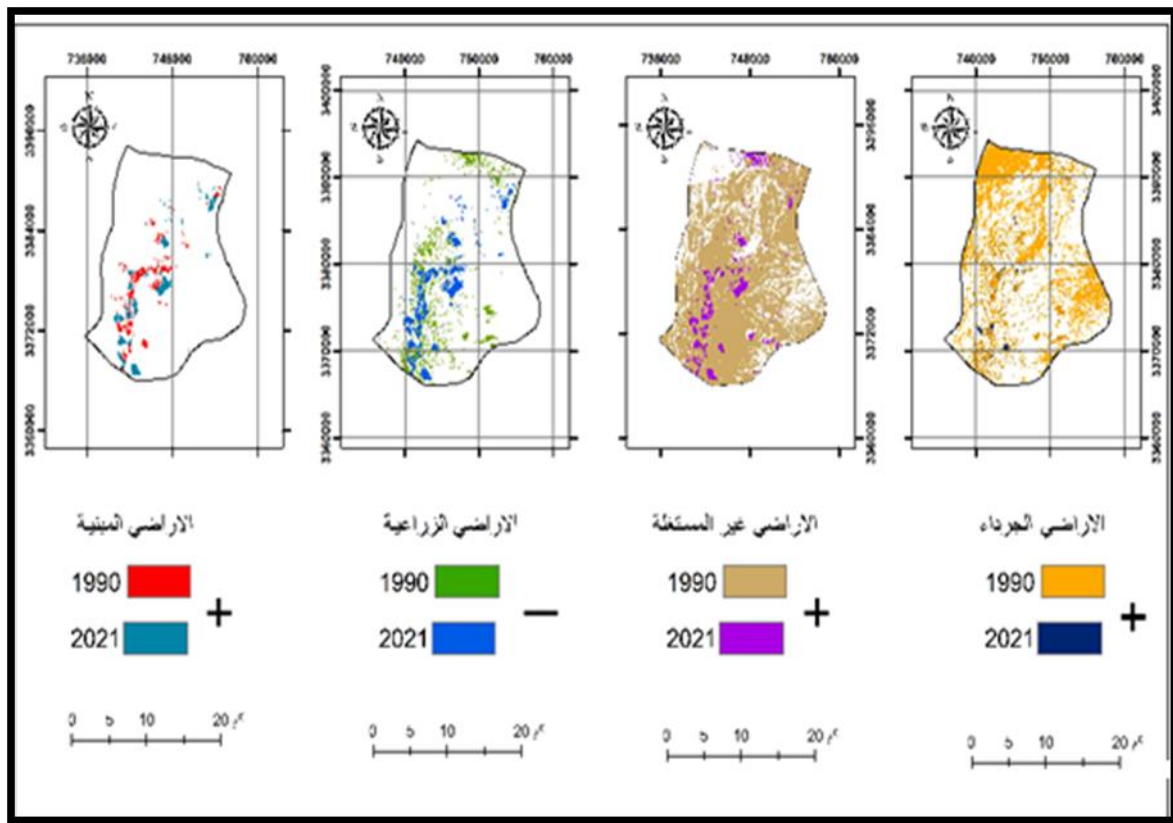
للعام 1990 حيث بلغت 80% للأراضي المبنية و83% للأراضي الزراعية، و95% للأراضي غير المستغلة و85% للأراضي الجرداة، وبلغت دقة المستخدم للعام 80% للأراضي المبنية، والأراضي الزراعية 88%， والأراضي غير المستغلة 90%， والأراضي الجرداة 92%.

وبلغ مقدار الدقة بالنسبة لدقة المنتج للعام 2005 83% للأراضي المبنية و88% للأراضي الزراعية، و95% للأراضي غير المستغلة و85% للأراضي الجرداة، وبلغت دقة المستخدم للأراضي المبنية 88%， والأراضي الزراعية 93% والأراضي غير المستغلة 94% والأراضي الجرداة 93%. كما بلغ مقدار الدقة بالنسبة لدقة المنتج للعام 2021 90% للأراضي المبنية و95% للأراضي الزراعية، و98% للأراضي الجرداة و93% للأراضي غير المستغلة، وبلغت دقة المستخدم للأراضي المبنية 95%， والأراضي الزراعية 93% والأراضي غير المستغلة 95% والأراضي الجرداة 93%.

#### تحليل النتائج والتوصيات

ثبت أن لواء الشوبك شهد تغييراً واضحأً في الغطاء الأرضي ما بين عام 1990/2021 كان سبباً تأثير مجموعة





الشكل (16): التغير في الغطاء الأرضي واستعمالات الأرضي خلال الفترة 1990-2021

المصدر: إعداد الباحثة بالاعتماد على نظم المعلومات الجغرافية

خاصة الأرضي الصخرية في مناطق مختلفة من لواء الشوبك حيث تعد مناسبة للعمان.

2- تحسين مستوى الخدمات العامة وإقامة مشاريع تنموية وخدمية وجذب الاستثمار للمنطقة.

3- دعم القطاع الزراعي، لتعزيز الجانب الإنتاجي لدى السكان جراء عمل أعداد كبيرة منهم بالزراعة والثروة الحيوانية، بهدف إعادة الحياة للقرى المهجورة من أجل تشجيع السكان للعودة إليها بعد أن هجروها بحثاً عن الحياة المستقرة في المدن والبلدات القريبة. كما أن دعم القطاع الزراعي مدخل التنمية للمنطقة من خلال الاستثمارات الزراعية، وانتهاج سياسات زراعية سليمة، تساعد على الحد من هجرة السكان من أراضيهم إلى مناطق أخرى، حيث تعتبر الشوبك منطقة زراعية متكاملة من حيث الأنواع والإنتاج والمناخ الزراعي، وإيجاد مخطط زراعي يوجه المزارعين نحو أنماط حديثة من

ثالثاً: تعد تقنيات الاستشعار عن بعد ونظم المعلومات الجغرافية إحدى الأدوات الفعالة في عملية مراقبة وتقدير وإدارة الموارد الطبيعية، وإن دقة المعالجة الرقمية تساعده في دقة وتقسيم وتحليل التغير في الغطاء الأرضي عبر المكان والزمان.

رابعاً: هناك تحول في الغطاء الأرضي واستعمالات الأرضي، خاصة إلى الأرضي الجراء، مما يدل على أن الأرضي في لواء الشوبك تعاني من التصحر، والتدهور البيئي كما ظهر من مؤشر الاختلاف النباتي وهذا يتفق مع الدراسات السابقة حيث شهدت معظم المناطق التصحر باستثناء دراسة زريقات حيث شهدت منطقة الدراسة توسيعاً في الغابات نتيجة للسياسات الحكومية في المنطقة.

وبناء على ما سبق توصي الدراسة بالآتي:

1- توجيه البناء وبناء المساكن إلى الأرضي الجراء

- 7- تحسين نظام استعمال الأراضي الذي من شأنه تحديد صفة استخدام الأراضي بما يضمن الحفاظ على الرقعة الزراعية الآخذة بالتأكل، خاصة فيما يتعلق بالزراعة الحقلية من الحبوب وأهمها القمح الذي يعتبر سلعة استراتيجية رئيسية، واتخاذ قرارات استراتيجية تتضمن تشريعات لها علاقة بالغطاء الأرضي، واستعمالات الأرضي وذلك لتحديد الاستخدام الأمثل لها، و إعادة النظر بنظام تنظيم استعمال الأرضي الصادر بمقتضى المادتين (6) و (67) من قانون تنظيم المدن والقرى والأبنية رقم (79) لسنة 1966، والسماح بالارتفاع بأكثر من طابقين، وتوجيه التوسيع العمراني نحو المناطق الجرداء، (الجريدة الرسمية، 2007).
- 8- تحسين المراعي الطبيعية والتلوّح في زراعة الأعلاف وتنظيم عملية الرعي وتطوير الثروة الحيوانية.
- 9- إجراء دراسات لتحليل وتقدير الأرضي في لواء الشوبك، لدراسة النتائج الاقتصادية والاجتماعية والبيئية المترتبة على استخدامات الأرضي.
- 10- تبني سياسة تحرير الأرضي المنحدرة، للحد من انجراف التربة وزيادة مساحة الغطاء النباتي.
- 11- تشجيع الاستثمار في قطاع التعدين والقطاع الصناعي لتتنوع المعادن.
- 12- إجراء مشاريع في مجال حفظ التربة والتحرير خاصة المناطق المنحدرة.

الزراعة مثل الزراعة العضوية، وإنتاج أصناف ومحاصيل زراعية مطلوبة في الأسواق المحلية والخارجية، وتشجيع إقامة مصانع لتصنيع المنتجات الزراعية المختلفة.

4- حل مشاكل شح المياه الناجم عن قلة الأمطار التي أثرت في الإنتاج الزراعي في بعض قرى الشوبك، علاوة على ارتفاع أسعار المياه، وتوفير مصادر للمياه بتطوير عيون وقنوات المياه المنتشرة وتشديد الرقابة على استغلال المياه الجوفية والينابيع في مختلف مناطق لواء الشوبك، والتلوّح في عمليات الحصاد المائي، واستخدام طرق الري الحديثة للحد من الفاقد من المياه أثناء الري.

5- تعزيز مكانة اللواء الذي يضم قلعة الشوبك التاريخية وموقع سياحية وأثرية وتراثية على الخريطة السياحية المحلية والإقليمية، لما يتمتع به اللواء من توفر عناصر جذب بيئية ومناخية وسياحية كثيرة، وزيادة الاهتمام بالمناطق السياحية الواقعة ضمن منطقة الدراسة، والقيام بالفعاليات الثقافية والرياضية. وتشجيع وتنمية السياحة البيئية (Eco-tourism) ضمن برامج السياحة في الأردن، بالتعاون بين مالكي الأرضي، ووزارة السياحة والآثار، ووزارة الزراعة، ووزارة البيئة.

6- الاهتمام بدعم كلية الشوبك من خلال إتباعها إلى جامعة الحسين بن طلال وتحسين واقعها ورفدها بتخصصات جديدة توائم سوق العمل.

## المصادر والمراجع

- البحيري، ص. (1991)، *جغرافيًا الأردن*، عمان: مكتبة الجامع الحسيني.
- جريدة الرسمية، قانون تنظيم المدن والقرى رقم (79) لسنة 1966، رقم 4812، تاريخ 2007/3/1.
- خرييات، م. والعبيدي، ر. (2016)، *الشوبك في الزمان والمكان وفيه سجل تحرير نفوس (1910)*، بدون ناشر.
- التلاوي، ع. (1989)، *الغابات في الأردن*، عمان: دار البشير للنشر والتوزيع.
- دائرة الإحصاءات العامة، السكان السوريون في الأحياء التعداد العام للسكان والمساكن. النشرة السابعة، 2015، عمان.
- دائرة الإحصاءات العامة، النشرة الإحصائية السنوية خلال الفترة 1985-2012، عمان.
- دائرة الإحصاءات العامة الأردنية، تعدادات السكان في الأعوام 1961، 1979، 1994، 2000، 2010، 2015، 2021، 2021، عمان.
- دائرة الأرصاد الجوية، التقارير السنوية خلال الفترة 2002-2009، عمان.
- زريقات، د. والحسبان، ي. (2012)، كشف التغير في الغطاء الأرضي باستخدام الصور الجوية ونظم المعلومات الجغرافية في قضاء بrama - جرش، *المجلة الأردنية للعلوم الاجتماعية*، 5(1)، 1-14.
- \_\_\_\_\_، تغير الغطاء الغابي في حوض وادي كفرنجة-

- المعلومات الجغرافية، دراسات العلوم الإنسانية والاجتماعية، 46(2).
- طعيمة، ع. (2010). الاستزاف المستمر للأراضي الزراعية في الأردن، *البحث العلمي*، العدد 2، السنة الثانية، الجمعية الأردنية للبحث العلمي، ص 79-99.
- قطيشات، ر. وأبو صبيحة، ك. (2014). تحليل أنماط التوزيع المكاني للمدن الأردنية باستخدام تقنية نظم المعلومات الجغرافية، *دراسات العلوم الإنسانية والاجتماعية*، 41(2)، 554-529.
- وزارة الزراعة، المشروع الوطني لخريطة التربية واستعمالات الأرضي، الترب الأردنية، المستوى الثاني، 1994، مجلد رقم (1).
- المركز الجغرافي الملكي الأردني، 1978، *خريطة طبوغرافية لوحدة الشوبك*، مقياس 1/25000، عمان، الأردن.

[https://www.researchgate.net/profile/Omar\\_Al\\_Khashman/publication/301608330\\_alsadr\\_altbyyt\\_walwd\\_albyyy\\_lmntqt\\_lwa\\_alshwbk\\_mhafzt\\_man/links/571c8f3008aee3ddc569e6f8/alsadr-altbyyt-walwd-albyyy-lmntqt-lwa-alshwbk-mhafzt-man](https://www.researchgate.net/profile/Omar_Al_Khashman/publication/301608330_alsadr_altbyyt_walwd_albyyy_lmntqt_lwa_alshwbk_mhafzt_man/links/571c8f3008aee3ddc569e6f8/alsadr-altbyyt-walwd-albyyy-lmntqt-lwa-alshwbk-mhafzt-man)

## REFEREENCES

- Al Rawashdeh, S., & Saleh, B. (2006), Satellite monitoring of urban spatial growth in the Amman area, Jordan. *Journal of Urban Planning and Development, ASCE*, 132(4), 211-216. [https://doi.org/10.1061/\(ASCE\)0733-9488\(2006\)132:4\(211\)](https://doi.org/10.1061/(ASCE)0733-9488(2006)132:4(211))
- Al-Bakri, J., Duqqah, M., & Brewer, T. (2013), Application of remote sensing and GIS for modeling and assessment of land use/cover change in Amman/Jordan, *Journal of Geographic Information System*, 5(6), 509-519. <https://doi.org/10.4236/jgis.2013.56045>
- Al-Khashman, O., Alnawafleh, M., Abu Jrai, A., & Al-Muhtaseb, A. (2017), Monitoring and assessing of spring water quality in the southwestern basin of Jordan, *Open Journal of Modern Hydrology*, 7(4), 331-349. <https://doi.org/10.4236/ojmh.2017.74022>
- Anderson, J. R., Hardy, E. E., & Roach, J. T. (1972), A

- الأردن للفترة بين 1978-2010 باستخدام تقنية الاستشعار عن بعد ونظم المعلومات الجغرافية، *مجلة مؤتة للبحوث والدراسات*، 29(3)، جامعة مؤتة، 125-162.
- السلال، ف. (2009). تطبيقات تقنيات الاستشعار عن بعد ونظم المعلومات الجغرافية لدراسة التغيرات في استعمالات الأرض والغطاء الأرضي في لواء سحاب خلال الفترة 1989-2000. رسالة ماجستير غير منشورة، الجامعة الأردنية، عمان، الأردن.
- شحادة، ن. (1990). *مناخ الأردن*، دار البشر، عمان، الطبعة الأولى.
- عبد، ع. (2000). *جيولوجيا الأردن وبئته ومياهه*، نقابة الجيولوجيين الأردنيين، سلسلة الكتب العلمية 1، عمان.
- عبد الجود، أ. والبلبيسي، ح. (2019). تحليل وكشف التغيرات في أنماط الغطاء الأرضي ومقارنتها مع خريطة استعمالات الأرض في لواء الموقر باستخدام المرئيات الفضائية ونظم

## الموقع الإلكتروني

[www.usgs.gov](http://www.usgs.gov)

- الخشمان، ع. والطراؤنة، ا. (2016). المصادر الطبيعية والوضع البيئي لمنطقة لواء الشوبك / محافظة معان،

*land-use classification system for use with remote-sensor data* (U.S. Geological Survey Circular 671). <https://pubs.usgs.gov/circ/1972/0671/report.pdf>.

Butt, A., Ahmad, S., & Aziz, N. (2015), Land use change mapping and analysis using remote sensing and GIS: A case study of Simly watershed, Islamabad, Pakistan, *The Egyptian Journal of Remote Sensing and Space Science*, 18(2), 251–259.

<https://doi.org/10.1016/j.ejrs.2015.10.002>

Celikayan, M. (2007), Accuracy assessment of land use mapping by manual digitizing, *Environmental Engineering Science*, 24(3), 301-314. <https://doi.org/10.1089/ees.2006.0196>

Congalton, R. G. (1991), A review of assessing the accuracy of remotely sensed data, *Remote Sensing of Environment*, 37(1), 35-46.

[https://doi.org/10.1016/0034-4257\(91\)90048-B](https://doi.org/10.1016/0034-4257(91)90048-B)

- Dey, D., Al Rakib, A., AlKafy, A., & Raikwar, V. (2021), Geospatial modelling of changes in land use/land cover dynamics using multi-layer perceptron Markov chain model in Rajshahi City, Bangladesh, *Environmental Challenges*, 4, 100148.
- <https://doi.org/10.1016/j.envc.2021.100148>
- Doe, B., Amoako, C., & Adamtey, R. (2022), Spatial expansion and patterns of land use/land cover changes around Accra, Ghana – Emerging insights from Awutu Senya East Municipal Area, *Land Use Policy*, 112, 105866. <https://doi.org/10.1016/j.landusepol.2021.105866>
- ESRI. (1999), *Getting to know ArcGIS*. USA: ESRI. pp. 115-1768.
- Fan, F., Wang, Y., & Wang, Z. (2008), Temporal and spatial change detection (1998-2003) and prediction of land use in the core corridor of the Pearl River Delta (China) using TM and ETM+ images, *Environmental Monitoring and Assessment*, 137(1-3), 137-147. <https://doi.org/10.1007/s10661-007-9735-6>
- Fapeng, L., Zongxue, X., Youcan, F., & Meilin, L. (2013), Changes of land cover in the Yarlung Tsangpo River Basin from 1985 to 2005, *Environmental Earth Sciences*, 68(1), 181-188.
- <https://doi.org/10.1007/s12665-012-1922-0>.
- Gandhi, M., Parthiban, S., Nagaraj, T., & Christy, M. (2015), NDVI: Vegetation change detection using remote sensing and GIS – A case study of Vellore District. *Procedia Computer Science*, 57, 1199–1210. <https://doi.org/10.1016/j.procs.2015.07.453>
- Glasby, G. P. (2002), Sustainable development: The need for a new paradigm, *Environmental Development and Sustainability*, 4(4), 333-345.
- <https://doi.org/10.1023/A:1020674709785>
- Hegazy, R. I., & Kaloop, M. R. (2015), Monitoring urban growth and land use change detection with GIS and remote sensing techniques in Daqahlia Governorate, Egypt, *International Journal of Sustainable Built Environment*, 4(1), 117–124.
- <https://doi.org/10.1016/j.ijsbe.2015.06.003>
- Hietel, E. (2004), Analyzing land-cover changes in relation to environmental variables in Hess, Germany,
- Landscape Ecology*, 19(5), 473-489.
- <https://doi.org/10.1023/B:LAND.0000021377.49809.2e>
- Karimov, Y., Musaev, I., Mirzabayeva, S., Abobakirova, Z., Umarov, S., & Mirzaeva, Z. (2023), Land use and land cover change dynamics of Uzbekistan: A review, In *Proceedings of the International Conference on Sustainable Management of Earth Resources and Biodiversity (SERBEMA)* (Vol. 421).
- Kelly-Fair, M., Gopal, S., Magaly, M., Kusumaningrum, H., Muhammad Helmi, M., Khairunnisa, D., & Kaufman, L. (2022), Analysis of land use and land cover changes through the lens of SDGs in Semarang, Indonesia, *Sustainability*, 14(15), 7592.
- <https://doi.org/10.3390/su14157592>
- Kiggundu, N., Abugri Anaba, L., Banadda, N., Wanyama, J., & Kabenge, L. (2018), Assessing land use and land cover changes in the Murchison Bay catchment of Lake Victoria Basin in Uganda, *Journal of Sustainable Development*, 11(1), 44-55.
- <https://doi.org/10.5539/jsd.v11n1p44>
- Knuwar, P. (2010), Use of high-resolution IKONOS data and GIS techniques for transformation of land use/cover for sustainable development, *Current Science*, 98(2), 204-213. <https://doi.org/10.2307/25752297>.
- Lambin, E., Geist, H., & Lepers, E. (2003), Dynamics of land-use and land cover change in tropical regions. *Annual Review of Environment and Resources*, 28, 205–241. <https://doi.org/10.1146/annurev.energy.28.050302.105459>
- Maereg Teklay Amare, Solomon Tekalign Demissie, Solomon Asfaw Beza, & Sitotaw Haile Erena. (2023), Land cover change detection and prediction in the Fafan catchment of Ethiopia, *Journal of Geovisualization and Spatial Analysis*, 7, Article 19.
- <https://doi.org/10.1007/s42483-023-00019-9>
- Mather, A., & Needle, C. (2000), The relationships of population and forest trends, *The Geographical Journal*, 166(1), 2–13.
- <https://doi.org/10.1111/j.1475-4959.2000.tb00001.x>
- Minale, A. (2013), Retrospective analysis of land cover and use dynamics in Gilgel Abbay Watershed by using GIS and remote sensing techniques, Northwestern Ethiopia,

- International Journal of Geosciences**, 4, 1003–1008.  
<https://doi.org/10.4236/ijg.2013.47096>
- Mira-F, Sucharita G., Magaly K., Hermin K., Muhammad H., Dinda Kh., & Les K. (2022), Analysis of land use and land cover changes through the lens of SDGs in Semarang, Indonesia, *Sustainability*, 14(13), 7592. <https://doi.org/10.3390/su14137592>
- Naikoo, M., Rihan, M., Istaque, M., & Shahfahd, M. (2020), Analyses of land use land cover (LULC) change and built-up expansion in the suburb of a metropolitan city: Spatio-temporal analysis of Delhi NCR using Landsat datasets, *Journal of Urban Management*, 9(3), 347–359. <https://doi.org/10.1016/j.jum.2020.08.003>
- Oluwabummi, O., & Ogunkunle, A. (2014), Land use change analysis in a derived savannah zone of Southwestern Nigeria and challenges for agricultural land, *Journal of Biology, Agriculture and Healthcare*, 4(18), 300–320. ISSN 2224-3208 (Paper), ISSN 2225-093X (Online).
- Phipps, G. (2014), Three applications of V.3 Google Maps: Just for display of data, or analysis as well, *Journal of Geographic Information System*, 6(5), 548–558. <https://doi.org/10.4236/jgis.2014.65050>
- Reddy, T. (2009), Topographic normalization of satellite imagery for image classification in northeast India, *Progress in Physical Geography*, 33(6), 815–839. <https://doi.org/10.1177/0309133309347396>
- Reis, S. (2008), Analyzing land use/land cover change using remote sensing and GIS in Rize, North-East Turkey, *Sensors*, 8(10), 7618–76202. <https://doi.org/10.3390/s08107618>
- Shalaby, A., & Tateishi, R. (2007), Remote sensing and GIS for mapping and monitoring land cover and land use changes in the northwestern coastal zone of Egypt, *Applied Geography*, 27(1), 28–41.
- <https://doi.org/10.1016/j.apgeog.2006.10.003>
- Shehadeh, N., & Ananbeh, S. (2013), Impact of climate change upon winter rainfall, *American Journal of Environmental Sciences*, 9(1), 73–81. <https://doi.org/10.3844/ajessp.2013.73.81>
- Shivoga, A., Muchiri, M., Kibichi, S., Odanga, J., Miller, N., & Baldyga, J. (2007), Influences of land use/cover on water quality in the upper and middle reaches of river Njoro, Kenya, *Lakes & Reservoirs: Research & Management*, 12(2), 97–105. <https://doi.org/10.1111/j.1440-1770.2007.00364.x>
- Tekle, K., & Hedlund, L. (2000), Land cover changes between 1958 and 1987 in Kalu District, southern Wello, Ethiopia, *Mountain Research and Development*, 20(1), 42–51. [https://doi.org/10.1659/0276-4741\(2000\)020\[0042:LCCB\]2.0.CO;2](https://doi.org/10.1659/0276-4741(2000)020[0042:LCCB]2.0.CO;2)
- Tovar, V., Seijmonsbergen, A. C., & Duivenvoorden, J. F. (2013), Monitoring land use and land cover change in mountain regions: An example in the Jalca grasslands of the Peruvian Andes, *Landscape and Urban Planning*, 112, 40–49. <https://doi.org/10.1016/j.landurbplan.2012.12.007>
- Were, O., Dick, B., & Singh, B. (2013), Remotely sensing the spatial and temporal land cover changes in Eastern Mau Forest Reserve and Lake Nakuru drainage basin, Kenya, *Applied Geography*, 41, 75–86. <https://doi.org/10.1016/j.apgeog.2013.04.007>
- Zhao, R., Chen, Y., Shi, P., Zhang, L., Pan, J., & Zhao, H. (2013), Land use, land cover, and driving mechanisms in the arid inland river basin: A case study of Terim River, Xinjiang, China, *Environmental Earth Sciences*, 68, 591–604. <https://doi.org/10.1007/s12665-012-1826-2>.

## Spatial Analysis of Land Cover and Land Uses in Al-Shoubak District / Ma'an Governorate During the Period 1990-2021 Using Remote Sensing and Geographic Information Systems<sup>1</sup>

Dalal Zregat<sup>2</sup>

### ABSTRACT

This study aims to identify the main types of land cover and land use in Al-Shoubak District/ Ma'an Governorate, and to analyze the spatial and temporal changes in land cover and land use distribution using Geographic Information Systems (GIS) and Remote Sensing (RS) techniques. Various topographic characteristics were derived from the Digital Elevation Model (DEM), obtained from the topographic maps of Al-Shoubak District at a scale of 1:25,000. Landsat satellite images from the years 1990, 2005, and 2021 were also used. The study found that there are four main types of land cover and land use in Al-Shoubak District: built-up areas, agricultural land, barren land, and unused land. The study also revealed changes in land cover and land use between 1990 and 2021, with a change rate of 200% for built-up areas, -84.14% for agricultural land, 10.3% for unused land, and 0.21% for barren land. Additionally, the study highlighted the transformation of each type of land cover and land use.

**Keywords:** Land cover-land use, Supervised classification, Conversion matrix, Normalized difference vegetation index, Al-Shoubak district, Ma'an /Jordan.

<sup>1</sup> This research was conducted with the support of the Deanship of Scientific Research / University of Jordan.

<sup>2</sup> Department of Geography, School of Arts, The University of Jordan, Amman, Jordan.

Received on 15/11/2023. Accepted for Publication on 22/2/2024.